

# KONVEXE POLYEDER: ELEMENTARE GRUNDLAGEN

JÜRGEN HAUSEN UND PAUL WEISS

Entwurf, Stand 26. Juni 2024

## INHALTSVERZEICHNIS

1. Grundlegende Konzepte	3
1.1. Lineare Algebra	3
<i>Linearkombinationen, lineare Hülle, lineare Unterräume, Durchschnitte, Summen, Bilder, Urbilder, Linearformen, Dualraum</i>	
1.2. Affine Hülle und affine Unterräume	7
<i>Affinkombinationen, affine Unterräume, affine Hülle, Durchschnitt, Summe, affine Abbildungen, Bild, Urbild, Affinformen</i>	
1.3. Positive Hülle und konvexe Kegel	11
<i>Positivkombinationen, konvexe Kegel, positive Hülle, Durchschnitt, Summe, Bild, Urbild, Positivort von Linearformen, Dualkegel</i>	
1.4. Konvexe Hülle, konvexe Mengen und Polyeder	15
<i>Konvexkombinationen, konvexe Hülle, konvexe Mengen, Durchschnitt, Summe, Bild, Urbild, Positivort von Affinformen, konvexe Polyeder</i>	
2. Polyedrische konvexe Kegel	19
2.1. Polyedrische Kegel 1	19
<i>Endlich erzeugte Kegel, polyedrische Kegel, Charakterisierung als Bilder bzw. Urbilder von Orthanten, Satz von Hahn-Banach, Dualitätssatz</i>	
2.2. Polyedrische Kegel 2	23
<i>Fourier-Motzkin-Elimination, Äquivalenz von endlich erzeugt und polyedrisch für konvexe Kegel</i>	
2.3. Seiten polyedrischer Kegel	27
<i>Seiten polyedrischer Kegel, Verbandsstruktur auf der Menge aller Seiten eines polyedrischen Kegels</i>	
2.4. Das relative Innere	31
<i>Relatives Inneres eines polyedrischen Kegels, verschiedene Charakterisierungen und Existenz innerer Punkte</i>	
2.5. Spitze Kegel	35
<i>Spitze Kegel, Extremalstrahlen, minimale Seite, Projektion auf einen spitzen Kegel</i>	

2.6.	Die Seiten des Dualkegels	39
	<i>Korrespondenz der Seitenverbände eines polyedrischen Kegels und seines Dualkegels, Existenz von Seiten</i>	
2.7.	Simpliziale Kegel	43
	<i>Simpliziale Kegel, Seiten simplizialer Kegel, Überdeckung eines spitzen Kegels durch simpliziale Teilkegel</i>	
3.	Konvexe Polyeder und Polytope	47
3.1.	Polytope und Polyeder 1	47
	<i>Polytope, Parallelotope, Kreuzpolytope, Polyeder, Beschränktheit, Rezessionskegel</i>	
3.2.	Polytope und Polyeder 2	51
	<i>Homogenisierungskegel eines nichtleeren Polyeders, Polytope sind nichtleere beschränkte Polyeder</i>	
3.3.	Polytope und Polyeder 3	55
	<i>Polyeder als Summen von Polytopen und polyedrischen konvexen Kegeln, Seitenverband eines Polyeders</i>	
	Literatur	59

1. GRUNDLEGENDE KONZEPTE

1.1. Lineare Algebra.

Im gesamten Text steht  $\mathbb{K}$  für einen Unterkörper des Körpers  $\mathbb{R}$  der reellen Zahlen, beispielsweise für den Körper  $\mathbb{Q}$  der rationalen Zahlen. Für  $\xi \in \mathbb{K}$  setzen wir

$$\mathbb{K}_{\geq \xi} := \{a \in \mathbb{K}; a \geq \xi\}, \quad \mathbb{K}_{> \xi} := \{a \in \mathbb{K}; a > \xi\}.$$

Insbesondere bezeichnen dann  $\mathbb{K}_{\geq 0}$  die Menge aller nicht negativen Zahlen aus  $\mathbb{K}$  und  $\mathbb{K}_{> 0}$  die Menge aller strikt positiven Zahlen aus  $\mathbb{K}$ .

Weiter setzen wir von allen im Text auftauchenden  $\mathbb{K}$ -Vektorräumen voraus, dass sie endlichdimensional sind.

**Erinnerung 1.1.1.** Es seien  $V$  ein  $\mathbb{K}$ -Vektorraum und  $S \subseteq V$  eine Teilmenge. Eine *Linearkombination über  $S$*  ist ein Vektor  $v \in V$  der Form

$$v = \sum_{i=1}^r \lambda_i v_i, \quad v_1, \dots, v_r \in S, \quad \lambda_1, \dots, \lambda_r \in \mathbb{K}.$$

Die *lineare Hülle über  $S$*  ist die Menge  $\text{Lin}(S) \subseteq V$  aller Linearkombinationen über  $S$ . Man setzt  $\text{Lin}(\emptyset) := \{0_V\}$ .

**Erinnerung 1.1.2.** Eine nichtleere Teilmenge  $V_0$  eines  $\mathbb{K}$ -Vektorraumes  $V$  heißt *Untervektorraum* (auch *linearer Unterraum*, in Zeichen  $V_0 \subseteq_{\text{lin}} V$ ), falls für alle  $v_1, v_2 \in V_0$  jede Linearkombination  $\lambda_1 v_1 + \lambda_2 v_2$  in  $V_0$  liegt.

**Aufgabe 1.1.3.** Es sei  $V_0$  eine nichtleere Teilmenge des  $\mathbb{R}^n$ ,  $n \leq 3$ . Was bedeutet "für je zwei  $v_1, v_2 \in V_0$  liegt jede Linearkombination  $\lambda_1 v_1 + \lambda_2 v_2$  in  $V_0$ " geometrisch? Veranschauliche die Situation anhand geeigneter Beispiele.

**Definition 1.1.4.** Es seien  $V$  ein  $\mathbb{K}$ -Vektorraum und  $S_1, \dots, S_r \subseteq V$  nichtleere Teilmengen. Die *Summe* über  $S_1, \dots, S_r$  ist

$$S_1 + \dots + S_r := \{v_1 + \dots + v_r; v_1 \in S_1, \dots, v_r \in S_r\} \subseteq V.$$

**Satz 1.1.5.** *Es sei  $V$  ein  $\mathbb{K}$ -Vektorraum. Dann gelten folgende Aussagen:*

- (i) *Ist  $(V_i)_{i \in I}$  eine nichtleere Familie von Untervektorräumen von  $V$ , so ist auch der Durchschnitt ein Untervektorraum:*

$$\bigcap_{i \in I} V_i \subseteq_{\text{lin}} V.$$

- (ii) *Für jede Teilmenge  $S \subseteq V$  ist  $\text{Lin}(S) \subseteq V$  ein Untervektorraum mit  $S \subseteq \text{Lin}(S)$ . Genauer gilt*

$$\text{Lin}(S) = \bigcap_{\substack{V_0 \subseteq_{\text{lin}} V \\ S \subseteq V_0}} V_0,$$

*d.h.,  $\text{Lin}(S)$  ist der bezüglich Inklusion kleinste Untervektorraum von  $V$ , der  $S$  enthält.*

- (iii) *Sind  $V_1, \dots, V_r \subseteq V$  Untervektorräume, so ist die Summe  $V_1 + \dots + V_r \subseteq V$  ebenfalls ein Untervektorraum.*
- (iv) *Ist  $\varphi: V \rightarrow W$  eine lineare Abbildung von  $\mathbb{K}$ -Vektorräumen, so gilt stets*

$$V_0 \subseteq_{\text{lin}} V \Rightarrow \varphi(V_0) \subseteq_{\text{lin}} W, \quad W_0 \subseteq_{\text{lin}} W \Rightarrow \varphi^{-1}(W_0) \subseteq_{\text{lin}} V.$$

**Erinnerung 1.1.6.** Es sei  $V$  ein  $\mathbb{K}$ -Vektorraum. Eine *Linearform* auf  $V$  ist eine lineare Abbildung  $V \rightarrow \mathbb{K}$ . Der *Dualraum* von  $V$  ist

$$V^* := \text{LF}(V) := \text{Hom}(V, \mathbb{K}) = \{u: V \rightarrow \mathbb{K}; u \text{ ist linear}\}.$$

Zusammen mit der punktweisen Addition und der punktweisen Skalarmultiplikation wird  $V^*$  zu einem  $\mathbb{K}$ -Vektorraum: Man definiert

$$(u + u')(v) := u(v) + u'(v), \quad (au)(v) := au(v).$$

Ist eine Basis  $\mathcal{B} = (v_1, \dots, v_n)$  für  $V$  gegeben, so ist die zugehörige *duale Basis*  $\mathcal{B}^* = (v_1^*, \dots, v_n^*)$  für  $V^*$  definiert durch

$$v_i^*: V \rightarrow \mathbb{K}, \quad v_j \mapsto \begin{cases} 1, & i = j, \\ 0, & i \neq j, \end{cases}$$

d.h., man schreibt die Werte der  $v_i^*$  auf  $v_1, \dots, v_n$  vor. Für jede Linearform  $u = a_1 v_1^* + \dots + a_n v_n^* \in V^*$  und jedes  $v = b_1 v_1 + \dots + b_n v_n \in V$  hat man

$$u(v) = \left( \sum_i a_i v_i^* \right) \left( \sum_j b_j v_j \right) = \sum_{i,j} a_i b_j v_i^*(v_j) = a_1 b_1 + \dots + a_n b_n.$$

Der Wert von  $u$  auf  $v$  ist somit das Standardskalarprodukt ihrer Koordinatenvektoren bezüglich  $\mathcal{B}^*$  und  $\mathcal{B}$ . Man verwendet auch die Schreibweisen

$$U := V^*, \quad u_i := v_i^*, \quad \langle u, v \rangle := u(v).$$

Details und Beweise zu Dualraum sowie dualen Basen sind im Skriptum zur Linearen Algebra 1 zu finden; siehe [1, Abschnitt 4.4].

**Bemerkung 1.1.7.** Wir betrachten  $\mathbb{K}^n$  mit der Standardbasis  $(e_1, \dots, e_n)$ . Jeder Vektor  $x \in \mathbb{K}^n$  definiert eine Linearform

$$\mathbb{K}^n \rightarrow \mathbb{K}, \quad y \mapsto x(y) := x_1 y_1 + \dots + x_n y_n.$$

Wir dürfen  $(\mathbb{K}^n)^*$  auf diese Weise mit  $\mathbb{K}^n$  identifizieren. Die zu  $(e_1, \dots, e_n)$  duale Basis ist dann gegeben als

$$(e^1, \dots, e^n) := ((1, 0, \dots, 0), \dots, (0, \dots, 0, 1)).$$

**Bemerkung 1.1.8.** Es seien  $V$  ein endlichdimensionaler  $\mathbb{K}$ -Vektorraum und  $U$  sein Dualraum. Dann definiert die Vorschrift

$$V \mapsto U^*, \quad v \mapsto [g_v: U \rightarrow \mathbb{K}, u \mapsto \langle u, v \rangle]$$

einen Isomorphismus von  $\mathbb{K}$ -Vektorräumen. Auf diese Weise identifiziert man  $V$  mit  $U^* = (V^*)^*$ . Für  $u \in U$  und  $v \in V$  schreibt man auch

$$v(u) := \langle u, v \rangle := u(v).$$

**Konstruktion 1.1.9.** Es seien  $V$  ein  $n$ -dimensionaler  $\mathbb{K}$ -Vektorraum und  $U$  sein Dualraum. Jede Linearform  $0_U \neq u \in U$  definiert eine *lineare Hyperebene* in  $V$ :

$$N(u) := u^\perp := \text{Kern}(u) = \{v \in V; u(v) = 0\} \subseteq V.$$

Dabei ist  $N(u) \subseteq V$  ein Untervektorraum der Dimension  $n-1$ . Allgemeiner definiert man die *Nullstellenmenge* von  $R \subseteq U$  als

$$N(R) := \bigcap_{u \in R} N(u) = \{v \in V; u(v) = 0 \text{ für alle } u \in R\} \subseteq_{\text{lin}} V.$$

Falls  $R = \{u_1, \dots, u_m\}$  gilt mit Linearformen  $u_1, \dots, u_m \in U$ , so schreiben wir auch  $N(u_1, \dots, u_m)$  anstelle von  $N(R)$ .

**Bemerkung 1.1.10.** Es seien  $V$  ein  $n$ -dimensionaler  $\mathbb{K}$ -Vektorraum,  $U$  sein Dualraum und  $V_0 \subseteq V$  ein Untervektorraum.

- (i) Nach dem Basisergänzungssatz gibt es eine Basis  $(v_1, \dots, v_n)$  für  $V$ , sodass  $V_0 = \text{Lin}(v_1, \dots, v_k)$  für ein  $1 \leq k \leq n$  gilt.
- (ii) Es bezeichne  $(u_1, \dots, u_n)$  die duale Basis zu  $(v_1, \dots, v_n)$ . Dann ist der lineare Unterraum  $V_0 \subseteq V$  gegeben durch

$$V_0 = N(u_{k+1}, \dots, u_n) = \{v \in V; u_j(v) = 0, j = k+1, \dots, n\} \subseteq V.$$

- (iii) Jede Linearform  $u_0$  auf  $V_0$  erlaubt eine Fortsetzung zu einer Linearform  $u$  auf  $V$ , beispielsweise durch

$$u := \langle u_0, v_1 \rangle u_1 + \dots + \langle u_0, v_k \rangle u_k \in U.$$



1.2. Affine Hülle und affine Unterräume.

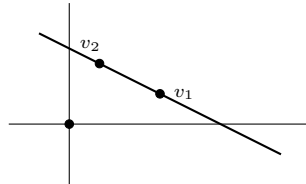
**Definition 1.2.1.** Es seien  $V$  ein  $\mathbb{K}$ -Vektorraum und  $S \subseteq V$  eine Teilmenge. Eine *Affinkombination über  $S$*  ist ein Vektor  $v \in V$  der Form

$$v = \sum_{i=1}^r \lambda_i v_i, \quad v_1, \dots, v_r \in S, \quad \lambda_1, \dots, \lambda_r \in \mathbb{K}, \quad \lambda_1 + \dots + \lambda_r = 1.$$

Die *affine Hülle über  $S$*  ist die Menge  $\text{Aff}(S) \subseteq V$  aller Affinkombinationen über  $S$ . Man setzt  $\text{Aff}(\emptyset) := \emptyset$ .

**Definition 1.2.2.** Eine Teilmenge  $A$  eines  $\mathbb{K}$ -Vektorraumes  $V$  heißt *affiner Unterraum* (in Zeichen  $A \subseteq_{\text{aff}} V$ ), falls für je zwei  $v_1, v_2 \in A$  jede Affinkombination  $\lambda_1 v_1 + \lambda_2 v_2$  in  $A$  liegt.

**Aufgabe 1.2.3.** Es sei  $A$  eine Teilmenge des  $\mathbb{R}^n$ ,  $n \leq 3$ . Was bedeutet “für je zwei  $v_1, v_2 \in A$  liegt jede Affinkombination  $\lambda_1 v_1 + \lambda_2 v_2$  in  $A$ ” geometrisch?



Veranschauliche die Begriffe Affinkombination, affine Hülle und affiner Unterraum anhand geeigneter Beispiele bzw. Nicht-Beispiele.

**Beispiel 1.2.4.** Die affine Hülle über die Standardbasisvektoren  $e_1, \dots, e_{n+1}$  in  $\mathbb{K}^{n+1}$  ist der affine Unterraum

$$\text{Aff}(e_1, \dots, e_{n+1}) = \{x \in \mathbb{K}^{n+1}; x_1 + \dots + x_{n+1} = 1\} \subseteq \mathbb{K}^{n+1}.$$

**Lemma 1.2.5.** Es seien  $V$  ein  $\mathbb{K}$ -Vektorraum und  $S \subseteq V$  eine Teilmenge. Dann gilt  $S \subseteq \text{Aff}(S) \subseteq_{\text{aff}} V$ .

*Beweis.* Für jedes  $v \in S$  liegt die Affinkombination  $1 \cdot v$  in  $\text{Aff}(S)$ . Folglich haben wir  $S \subseteq \text{Aff}(S)$ . Für den Nachweis von  $\text{Aff}(S) \subseteq_{\text{aff}} V$  seien  $v, v' \in \text{Aff}(S)$  und  $\lambda, \lambda' \in \mathbb{K}$  mit  $\lambda + \lambda' = 1$  gegeben. Dann erhalten wir

$$\lambda v + \lambda' v' = \lambda \sum_{i=1}^n \lambda_i v_i + \lambda' \sum_{j=1}^m \lambda'_j v'_j = \sum_{i=1}^n \lambda \lambda_i v_i + \sum_{j=1}^m \lambda' \lambda'_j v'_j \in \text{Aff}(S),$$

wobei  $v = \lambda_1 v_1 + \dots + \lambda_n v_n$  sowie  $v' = \lambda'_1 v'_1 + \dots + \lambda'_m v'_m$  Darstellungen als Affinkombinationen über  $S$  sind und die Koeffizienten  $\lambda \lambda_1, \dots, \lambda \lambda_n, \lambda' \lambda'_1, \dots, \lambda' \lambda'_m$  sich offensichtlich zu 1 aufsummieren.  $\square$

**Lemma 1.2.6.** Es seien  $V$  ein  $\mathbb{K}$ -Vektorraum und  $A \subseteq V$  ein affiner Unterraum. Dann gilt  $\text{Aff}(A) = A$ .

*Beweis.* Die Inklusion “ $A \subseteq \text{Aff}(A)$ ” ergibt sich direkt aus Lemma 1.2.5. Nehmen wir an, es gelte  $\text{Aff}(A) \not\subseteq A$ . Dann gibt es Affinkombinationen

$$v = \sum_{i=1}^n \lambda_i v_i \in \text{Aff}(A) \setminus A, \quad \lambda_i \neq 0, \quad i = 1, \dots, n.$$

Es sei  $v$  eine solche Affinkombination mit minimaler Länge  $n$ . Nach Definition eines affinen Unterraumes gilt  $n \geq 3$ , und wir dürfen  $\lambda_1 \neq 1$  annehmen. Es folgt

$$v' := \sum_{i=2}^n \frac{\lambda_i}{1 - \lambda_1} v_i \in A, \quad v = \lambda_1 v_1 + (1 - \lambda_1) v' \in A,$$

wobei  $v' \in \text{Aff}(A)$ , somit  $v' \in A$  nach Wahl von  $v$  und  $v \in A$  nach Definition eines affinen Unterraumes gilt. Widerspruch. Also gilt  $\text{Aff}(A) \subseteq A$ .  $\square$

**Satz 1.2.7.** *Es sei  $V$  ein  $\mathbb{K}$ -Vektorraum. Dann gelten folgende Aussagen:*

- (i) *Ist  $(A_i)_{i \in I}$  eine Familie affiner Unterräume von  $V$ , so ist auch der Durchschnitt ein affiner Unterraum:*

$$\bigcap_{i \in I} A_i \subseteq_{\text{aff}} V.$$

- (ii) *Für jede Teilmenge  $S \subseteq V$  ist  $\text{Aff}(S) \subseteq V$  ein affiner Unterraum mit  $S \subseteq \text{Aff}(S)$ . Genauer gilt*

$$\text{Aff}(S) = \bigcap_{\substack{A \subseteq_{\text{aff}} V \\ S \subseteq A}} A,$$

*d.h.,  $\text{Aff}(S)$  ist der bezüglich Inklusion kleinste affine Unterraum von  $V$ , der  $S$  enthält.*

- (iii) *Sind  $A_1, \dots, A_r \subseteq V$  affine Unterräume, so ist die Summe  $A_1 + \dots + A_r$  ebenfalls ein affiner Unterraum von  $V$ .*

*Beweis.* Aussage (i) ist offensichtlich. Zu (ii). Nach Lemma 1.2.5 ist  $\text{Aff}(S) \subseteq V$  ein affiner Unterraum mit  $S \subseteq \text{Aff}(S)$ . Das beweist die erste Aussage. Weiter erhalten wir damit die Inklusion “ $\supseteq$ ” aus der Behauptung: Es gilt

$$\text{Aff}(S) \supseteq \text{Aff}(S) \cap \bigcap_{\substack{A \subseteq_{\text{aff}} V \\ S \subseteq A}} A = \bigcap_{\substack{A \subseteq_{\text{aff}} V \\ S \subseteq A}} A.$$

Für den Nachweis der Inklusion “ $\subseteq$ ” aus der Behauptung sei  $A \subseteq_{\text{aff}} V$  mit  $S \subseteq A$  gegeben. Lemma 1.2.6 liefert  $A = \text{Aff}(A)$ . Insbesondere liegt jede Affinkombination über  $S$  in  $A$ . Wir schließen  $\text{Aff}(S) \subseteq A$ .

Wir zeigen (iii). Es sei eine Affinkombination  $\lambda v + \lambda' v'$  mit  $v, v' \in A_1 + \dots + A_r$  gegeben. Dann gibt es Darstellungen

$$v = v_1 + \dots + v_r, \quad v' = v'_1 + \dots + v'_r, \quad v_i, v'_i \in A_i, \quad i = 1, \dots, r.$$

Insbesondere ist jedes  $\lambda v_i + \lambda' v'_i$  eine Affinkombination über  $A_i$  und liegt somit in  $A_i$ . Es folgt

$$\lambda v + \lambda' v' = (\lambda v_1 + \lambda' v'_1) + \dots + (\lambda v_r + \lambda' v'_r) \in A_1 + \dots + A_r.$$

$\square$

**Definition 1.2.8.** Es seien  $V$  ein  $\mathbb{K}$ -Vektorraum und  $S \subseteq V$  eine Teilmenge. Für  $S \neq \emptyset$  definiert man die *Verschiebung* von  $S$  um  $w \in V$  als

$$w + S := \{w\} + S = \{w + v; v \in S\} \subseteq V.$$

Die zu  $S$  gehörige *Differenzenmenge* ist  $D(S) := S - S := \{0\}$  für  $S = \emptyset$ , und für  $S \neq \emptyset$  setzt man

$$D(S) := S - S := \{s' - s; s, s' \in S\} \subseteq V.$$

**Satz 1.2.9.** *Es sei  $V$  ein  $\mathbb{K}$ -Vektorraum.*

- (i) *Es seien  $w \in V$  und  $V_0 \subseteq_{\text{lin}} V$ . Dann ist  $A := w + V_0$  ein affiner Unterraum von  $V$ , und es gilt  $D(A) = V_0$ .*
- (ii) *Es sei  $A \subseteq_{\text{aff}} V$ . Dann ist  $D(A) \subseteq V$  ein Untervektorraum, und es gilt  $A = w + D(A)$  für jedes  $w \in A$ .*

*Beweis.* Zu (i). Es seien  $v, v' \in A$  und  $\lambda, \lambda' \in \mathbb{K}$  mit  $\lambda + \lambda' = 1$  gegeben. Dann haben wir  $v = v_0 + w$  und  $v' = v'_0 + w$  mit  $v_0, v'_0 \in V_0$ . Es folgt

$$\lambda v + \lambda' v' = \lambda(v_0 + w) + \lambda'(v'_0 + w) = \lambda v_0 + \lambda' v'_0 + w \in A.$$

Somit ist  $A = V_0 + w$  ein affiner Unterraum von  $V$ . Weiter ist die Differenzenmenge von  $A$  gegeben durch

$$D(A) = \{(v'_0 + w) - (v_0 + w); v'_0, v_0 \in V_0\} = \{v'_0 - v_0; v'_0, v_0 \in V_0\} = V_0.$$

Zu (ii). Nach Definition ist  $D(A)$  nicht leer. Es seien  $v_1, v_2 \in D(A)$  und  $\lambda_1, \lambda_2 \in \mathbb{K}$  gegeben. Dann gilt  $v_i = w'_i - w_i$  mit  $w'_i, w_i \in A$ . Es folgt

$$\lambda_1 v_1 + \lambda_2 v_2 = (\lambda_1 w'_1 + \lambda_2 w'_2 + (1 - \lambda_1 - \lambda_2)w_1) - ((1 - \lambda_2)w_1 + \lambda_2 w_2).$$

Somit ist  $\lambda_1 v_1 + \lambda_2 v_2$  eine Differenz von Affinkombinationen über  $A$  und liegt gemäß Lemma 1.2.6 in  $D(A)$ . Das beweist  $D(A) \subseteq_{\text{lin}} V$ . Für jedes  $w \in A$  erhalten wir

$$A = w + \{v' - w; v' \in A\} = w + \{v'' - v; v'', v \in A\} = w + D(A),$$

wobei wir für " $\supseteq$ " in der zweiten Gleichung eine gegebene Differenz  $v'' - v$  mit  $v'', v \in A$  als  $v' - w$  mit  $v' := v'' + w - v \in A$  schreiben.  $\square$

**Definition 1.2.10.** Es seien  $V$  ein  $\mathbb{K}$ -Vektorraum und  $A \subseteq V$  ein affiner Unterraum. Die *Dimension von  $A$*  ist

$$\dim(A) := \begin{cases} \dim_{\mathbb{K}}(D(A)), & \text{falls } A \neq \emptyset, \\ -1, & \text{falls } A = \emptyset. \end{cases}$$

**Bemerkung 1.2.11.** Die nulldimensionalen affinen Unterräume eines  $\mathbb{K}$ -Vektorraumes sind genau seine einpunktigen Teilmengen.

**Aufgabe 1.2.12.** Veranschauliche die Differenzenmenge  $D(A)$  und die Dimension  $\dim(A)$  anhand geeigneter Beispiele affiner Unterräume  $A \subseteq \mathbb{R}^n$  für  $n = 1, 2, 3$ .

**Definition 1.2.13.** Eine Abbildung  $F: V \rightarrow W$  zwischen  $\mathbb{K}$ -Vektorräumen  $V$  und  $W$  heißt *affin*, falls es eine lineare Abbildung  $\varphi: V \rightarrow W$  und einen Vektor  $\beta \in W$  gibt, sodass  $F(v) = \varphi(v) + \beta$  für alle  $v \in V$  gilt; wir schreiben dann auch  $F = \varphi + \beta$ .

**Bemerkung 1.2.14.** Es seien  $V$  und  $W$  zwei  $\mathbb{K}$ -Vektorräume. Jede lineare Abbildung  $\varphi: V \rightarrow W$  ist eine affine Abbildung. Eine affine Abbildung  $\psi: V \rightarrow W$  ist genau dann linear, wenn  $\psi(0) = 0$  gilt.

**Lemma 1.2.15.** *Es sei  $F: V \rightarrow W$  eine affine Abbildung zwischen  $\mathbb{K}$ -Vektorräumen  $V$  und  $W$ . Ist  $\lambda_1 v_1 + \dots + \lambda_r v_r$  eine Affinkombination über  $V$ , so gilt*

$$F(\lambda_1 v_1 + \dots + \lambda_r v_r) = \lambda_1 F(v_1) + \dots + \lambda_r F(v_r).$$

*Beweis.* Wir haben  $F = \varphi + \beta$  mit einer linearen Abbildung  $\varphi: V \rightarrow W$  und einem Vektor  $\beta \in W$ . Damit ergibt sich

$$\begin{aligned} F(\lambda_1 v_1 + \dots + \lambda_r v_r) &= \varphi(\lambda_1 v_1 + \dots + \lambda_r v_r) + \beta \\ &= \lambda_1 \varphi(v_1) + \dots + \lambda_r \varphi(v_r) + (\lambda_1 + \dots + \lambda_r) \beta \\ &= \lambda_1 (\varphi(v_1) + \beta) + \dots + \lambda_r (\varphi(v_r) + \beta) \\ &= \lambda_1 F(v_1) + \dots + \lambda_r F(v_r). \end{aligned}$$

□

**Satz 1.2.16.** *Es sei  $F: V \rightarrow W$  eine affine Abbildung zwischen  $\mathbb{K}$ -Vektorräumen  $V$  und  $W$ .*

- (i) *Gilt  $A \subseteq_{\text{aff}} V$ , so gilt  $F(A) \subseteq_{\text{aff}} W$ .*
- (ii) *Gilt  $B \subseteq_{\text{aff}} W$ , so gilt  $F^{-1}(B) \subseteq_{\text{aff}} V$ .*

*Beweis.* Wir zeigen  $F(A) \subseteq_{\text{aff}} W$ . Es sei eine Affinkombination  $\lambda_1 w_1 + \lambda_2 w_2$  über  $F(A)$  gegeben. Wegen  $w_1, w_2 \in F(A)$  gibt es  $v_1, v_2 \in A$  mit  $F(v_i) = w_i$ . Wegen  $A \subseteq_{\text{aff}} V$  gilt  $\lambda_1 v_1 + \lambda_2 v_2 \in A$ . Mit Lemma 1.2.15 folgt

$$\lambda_1 w_1 + \lambda_2 w_2 = F(\lambda_1 v_1 + \lambda_2 v_2) \in F(A).$$

Wir zeigen  $F^{-1}(B) \subseteq_{\text{aff}} V$ . Es sei eine Affinkombination  $\lambda_1 v_1 + \lambda_2 v_2$  über  $F^{-1}(B)$  gegeben. Dann haben wir  $w_i := F(v_i) \in B$ . Wegen  $B \subseteq_{\text{aff}} W$  gilt  $\lambda_1 w_1 + \lambda_2 w_2 \in B$ . Mit Lemma 1.2.15 sehen wir dann, dass  $\lambda_1 v_1 + \lambda_2 v_2$  in  $F^{-1}(B)$  liegt:

$$F(\lambda_1 v_1 + \lambda_2 v_2) = \lambda_1 w_1 + \lambda_2 w_2 \in B.$$

□

**Konstruktion 1.2.17.** Es sei  $V$  ein  $\mathbb{K}$ -Vektorraum. Eine *Affinform* auf  $V$  ist eine affine Abbildung  $V \rightarrow \mathbb{K}$ , d.h., eine Abbildung der Gestalt

$$f: V \rightarrow \mathbb{K}, \quad v \mapsto u(v) + b, \quad u \in \text{LF}(V), b \in \mathbb{K},$$

Punktweise Addition und Skalarmultiplikation machen aus der Menge aller Affinformen auf  $V$  den  $\mathbb{K}$ -Vektorraum

$$\text{AF}(V) = \{f: V \rightarrow \mathbb{K}; f \text{ ist Affinform}\}.$$

Jede nicht-konstante Affinform  $f \in \text{AF}(V)$  definiert eine *affine Hyperebene* in  $V$ :

$$N(f) := \{v \in V; f(v) = 0\} = f^{-1}(0) \subseteq_{\text{aff}} V.$$

Ist allgemeiner eine Teilmenge  $R \subseteq \text{AF}(V)$  gegeben, so ist die zugehörige *Nullstellenmenge* gegeben als

$$N(R) := \{v \in V; f(v) = 0 \text{ für alle } f \in R\} = \bigcap_{f \in R} N(f) \subseteq_{\text{aff}} V.$$

Gilt  $R = \{f_1, \dots, f_m\}$  mit Affinformen  $f_1, \dots, f_m \in \text{AF}(V)$ , so schreiben wir auch  $N(f_1, \dots, f_m)$  anstelle von  $N(R)$ .

**Bemerkung 1.2.18.** Es sei  $V$  ein endlichdimensionaler  $\mathbb{K}$ -Vektorraum. Dann ist jeder affine Unterraum  $A \subseteq V$  ist von der Gestalt  $A = N(f_1, \dots, f_m)$  mit Affinformen  $f_1, \dots, f_m$  auf  $V$ .

1.3. Positive Hülle und konvexe Kegel.

**Definition 1.3.1.** Es seien  $V$  ein  $\mathbb{K}$ -Vektorraum und  $S \subseteq V$  eine Teilmenge. Eine *Positivkombination über  $S$*  ist ein Vektor  $v \in V$  der Form

$$v = \sum_{i=1}^r \lambda_i v_i, \quad v_1, \dots, v_r \in S, \quad \lambda_1, \dots, \lambda_r \in \mathbb{K}_{\geq 0}.$$

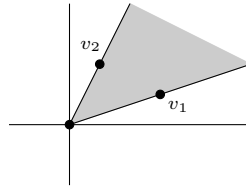
Die *positive Hülle über  $S$*  ist die Menge  $\text{Pos}(S) \subseteq V$  aller Positivkombinationen über  $S$ . Man setzt

$$\text{Pos}(\emptyset) := \{0_V\}, \quad \text{Pos}(v_1, \dots, v_n) := \text{Pos}(S), \quad \text{falls } S = \{v_1, \dots, v_n\}.$$

**Definition 1.3.2.** Eine Teilmenge  $\sigma$  eines  $\mathbb{K}$ -Vektorraumes  $V$  heißt *konvexer Kegel* (in Zeichen  $\sigma \subseteq_{\text{pos}} V$ ), falls  $\sigma \neq \emptyset$  gilt und für je zwei  $v_1, v_2 \in \sigma$  jede Positivkombination  $\lambda_1 v_1 + \lambda_2 v_2$  in  $\sigma$  liegt.

**Bemerkung 1.3.3.** Es seien  $V$  ein  $\mathbb{K}$ -Vektorraum und  $\sigma \subseteq V$  ein konvexer Kegel. Dann gibt es ein  $v \in \sigma$ , und damit haben wir  $0 = 0 \cdot v + 0 \cdot v \in \sigma$ .

**Aufgabe 1.3.4.** Es sei  $\sigma$  eine nichtleere Teilmenge des  $\mathbb{R}^n$ ,  $n \leq 3$ . Was bedeutet "für je zwei  $v_1, v_2 \in \sigma$  liegt jede Positivkombination  $\lambda_1 v_1 + \lambda_2 v_2$  in  $\sigma$ " geometrisch?



Veranschauliche die Begriffe Positivkombination, positive Hülle und konvexer Kegel anhand geeigneter Beispiele bzw. Nicht-Beispiele.

**Beispiel 1.3.5.** Der *positive Orthant*  $\delta^n := \mathbb{K}_{\geq 0}^n := (\mathbb{K}_{\geq 0})^n \subseteq \mathbb{K}^n$  ist ein konvexer Kegel in  $\mathbb{K}^n$ . Mit den Standardeinheitsvektoren  $e_1, \dots, e_n \in \mathbb{K}^n$  gilt

$$\delta^n = \text{Pos}(e_1, \dots, e_n).$$

**Bemerkung 1.3.6.** Es sei  $V$  ein  $\mathbb{K}$ -Vektorraum und  $S \subseteq V$  eine Teilmenge. Dann ist jede Positivkombination über  $S$  auch eine Linearkombination über  $S$ . Insbesondere sind lineare Unterräume stets konvexe Kegel.

**Lemma 1.3.7.** *Es seien  $V$  ein  $\mathbb{K}$ -Vektorraum und  $\sigma \subseteq V$  ein konvexer Kegel. Dann gilt  $\text{Pos}(S) \subseteq \sigma$  für jede Teilmenge  $S \subseteq \sigma$ .*

*Beweis.* Wir müssen zeigen, dass jede Positivkombination  $v = \lambda_1 v_1 + \dots + \lambda_r v_r$  über  $S$  in  $\sigma$  liegt. Wir verwenden Induktion über  $r$ . Für  $r \leq 2$  gilt  $v \in \sigma$  nach Definition 1.3.2. Zum Induktionsschritt: Die Induktionsannahme liefert  $v' := \lambda_2 v_2 + \dots + \lambda_r v_r \in \sigma$ . Mit Definition 1.3.2 erhalten wir dann  $v = \lambda_1 v_1 + v' \in \sigma$ .  $\square$

**Satz 1.3.8.** *Es sei  $V$  ein  $\mathbb{K}$ -Vektorraum. Dann gelten folgende Aussagen:*

- (i) *Ist  $(\sigma_i)_{i \in I}$  eine nichtleere Familie konvexer Kegel in  $V$ , so ist auch der Durchschnitt ein konvexer Kegel:*

$$\bigcap_{i \in I} \sigma_i \subseteq_{\text{pos}} V.$$

- (ii) Für jede Teilmenge  $S \subseteq V$  ist  $\text{Pos}(S) \subseteq V$  ein konvexer Kegel mit  $S \subseteq \text{Pos}(S)$ . Genauer gilt

$$\text{Pos}(S) = \bigcap_{\substack{\sigma \subseteq_{\text{pos}} V \\ S \subseteq \sigma}} \sigma,$$

d.h.,  $\text{Pos}(S)$  ist der bezüglich Inklusion kleinste konvexe Kegel in  $V$ , der  $S$  enthält.

- (iii) Sind  $\sigma_1, \dots, \sigma_r \subseteq V$  konvexe Kegel, so ist die Summe  $\sigma_1 + \dots + \sigma_r \subseteq V$  ebenfalls ein konvexer Kegel.
- (iv) Ist  $\varphi: V \rightarrow W$  eine lineare Abbildung von  $\mathbb{K}$ -Vektorräumen  $V$  und  $W$ , so gilt stets

$$\sigma \subseteq_{\text{pos}} V \Rightarrow \varphi(\sigma) \subseteq_{\text{pos}} W, \quad \tau \subseteq_{\text{pos}} W \Rightarrow \varphi^{-1}(\tau) \subseteq_{\text{pos}} V.$$

*Beweis.* Aussage (i) ist offensichtlich. Zu (ii). Für jedes  $v \in S$  ist  $v = 1 \cdot v$  eine Positivkombination, das bedeutet  $v \in \text{Pos}(S)$ , und wir erhalten  $S \subseteq \text{Pos}(S)$ . Sind weiter  $v, v' \in \text{Pos}(S)$  gegeben, so haben wir

$$v = \lambda_1 v_1 + \dots + \lambda_r v_r, \quad v' = \lambda'_1 v'_1 + \dots + \lambda'_s v'_s, \quad v_i, v'_j \in S, \quad \lambda_i, \lambda'_j \in \mathbb{K}_{\geq 0}.$$

Damit sehen wir, dass jede Positivkombination  $\lambda v + \lambda' v'$  auch eine Positivkombination über den obigen Vektoren  $v_i, v'_j \in S$  und somit in  $\text{Pos}(S)$  enthalten ist. Also ist  $\text{Pos}(S)$  ein konvexer Kegel. Mit Lemma 1.3.7 erhalten wir weiter

$$\text{Pos}(S) \subseteq \bigcap_{\substack{\sigma \subseteq_{\text{pos}} V \\ S \subseteq \sigma}} \sigma = \text{Pos}(S) \cap \bigcap_{\substack{\sigma \subseteq_{\text{pos}} V \\ S \subseteq \sigma}} \sigma \subseteq \text{Pos}(S).$$

Zu (iii). Die Summe  $\sigma_1 + \dots + \sigma_r$  ist offensichtlich nicht leer. Es sei nun  $\lambda v + \lambda' v'$  eine Positivkombination über  $\sigma$ . Dann haben wir  $v = v_1 + \dots + v_r$  und  $v' = v'_1 + \dots + v'_r$  mit  $v_i, v'_i \in \sigma_i$  und erhalten

$$\lambda v + \lambda' v' = (\lambda v_1 + \lambda' v'_1) + \dots + (\lambda v_r + \lambda' v'_r) \in \sigma_1 + \dots + \sigma_r.$$

Wir zeigen (iv). Wegen  $\sigma \neq \emptyset$  gilt  $\varphi(\sigma) \neq \emptyset$ . Ist  $\lambda w + \lambda' w'$  eine Positivkombination über  $\varphi(\sigma)$ , so wählen wir  $v, v' \in \sigma$  mit  $\varphi(v) = w$  und  $\varphi(v') = w'$ . Dann gilt  $\lambda v + \lambda' v' \in \sigma$ , und es folgt

$$\lambda w + \lambda' w' = \varphi(\lambda v + \lambda' v') \in \varphi(\sigma).$$

Also ist  $\varphi(\sigma) \subseteq W$  ein konvexer Kegel. Zu  $\varphi^{-1}(\tau) \subseteq V$ . Mit  $\varphi(0) = 0$  und  $0 \in \tau$  erhalten wir  $\varphi^{-1}(\tau) \neq \emptyset$ . Ist  $\lambda v + \lambda' v'$  eine Positivkombination über  $\varphi^{-1}(\tau)$ , so sehen wir  $\lambda v + \lambda' v' \in \varphi^{-1}(\tau)$  mit

$$\varphi(\lambda v + \lambda' v') = \lambda \varphi(v) + \lambda' \varphi(v') \in \tau.$$

□

**Bemerkung 1.3.9.** Es sei  $V$  ein  $\mathbb{K}$ -Vektorraum. Für jeden konvexen Kegel  $\sigma \subseteq V$  haben wir  $\text{Lin}(\sigma) = D(\sigma) \subseteq_{\text{lin}} V$ , wobei  $D(\sigma) = \sigma - \sigma \subseteq V$  die Differenzenmenge bezeichnet; siehe Definition 1.2.8.

**Definition 1.3.10.** Es sei  $V$  ein  $\mathbb{K}$ -Vektorraum. Die *Dimension* eines konvexen Kegels  $\sigma \subseteq V$  ist  $\dim(\sigma) := \dim(\text{Lin}(\sigma))$ .

**Aufgabe 1.3.11.** Veranschauliche den Dimensionsbegriff für konvexe Kegel anhand geeigneter Beispiele in  $\mathbb{R}^n$ ,  $n \leq 3$ .

**Konstruktion 1.3.12.** Es seien  $V$  ein  $\mathbb{K}$ -Vektorraum und  $U$  sein Dualraum. Der durch eine Linearform  $u \in U$  definierte *lineare Halbraum* in  $V$  ist die Teilmenge

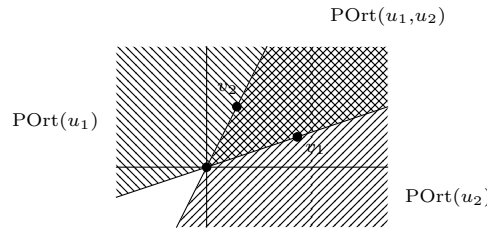
$$\text{POrt}(u) := \{v \in V; \langle u, v \rangle \geq 0\} \subseteq V.$$

Dabei haben wir stets  $N(u) \subseteq \text{POrt}(u)$ . Für eine beliebige Teilmenge  $R \subseteq U$  ist der zugehörige *Positivort* in  $V$  definiert als

$$\text{POrt}(R) := \{v \in V; \langle u, v \rangle \geq 0 \text{ für alle } u \in R\} = \bigcap_{u \in R} \text{POrt}(u) \subseteq V.$$

Ist  $R$  eine endliche Menge, etwa  $R = \{u_1, \dots, u_m\}$ , so notiert man den Positivort von  $R$  auch als  $\text{POrt}(u_1, \dots, u_m)$ .

**Aufgabe 1.3.13.** Veranschauliche die Begriffe des linearen Halbraumes und des Positivortes anhand geeigneter Beispiele im  $\mathbb{R}^n$ ,  $n \leq 3$ .



**Beispiel 1.3.14.** Der positive Orthant  $\delta^n = \mathbb{K}_{\geq 0}^n \subseteq \mathbb{K}^n$  lässt sich als Positivort darstellen: Mit der zu  $(e_1, \dots, e_n)$  dualen Basis  $(e^1, \dots, e^n)$  haben wir

$$\delta^n = \text{POrt}(e^1, \dots, e^n).$$

**Satz 1.3.15.** Es seien  $V$  ein  $\mathbb{K}$ -Vektorraum,  $U$  sein Dualraum und  $R, R' \subseteq U$  beliebige Teilmengen. Dann gilt

- (i)  $\text{POrt}(R) \subseteq V$  ist ein konvexer Kegel.
- (ii)  $R' \subseteq R \Rightarrow \text{POrt}(R') \supseteq \text{POrt}(R)$ .

*Beweis.* Zu (i). Wegen  $0 \in \text{POrt}(R)$  ist  $\text{POrt}(R)$  nicht leer. Es sei nun  $\lambda v + \lambda' v'$  eine Positivkombination über  $\text{POrt}(R)$ . Dann haben wir  $u(v) \geq 0$  und  $u(v') \geq 0$  für alle  $u \in R$ . Damit sehen wir  $\lambda v + \lambda' v' \in \text{POrt}(R)$ : Für jedes  $u \in R$  gilt

$$u(\lambda v + \lambda' v') = \lambda u(v) + \lambda' u(v') \geq 0.$$

Wir zeigen (ii). Gilt  $R' \subseteq R$ , so erfüllt jedes  $v \in \text{POrt}(R)$  insbesondere die Bedingung  $u(v) \geq 0$  für alle  $u \in R'$ , und wir erhalten  $v \in \text{POrt}(R')$ .  $\square$

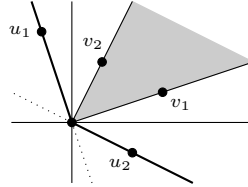
**Definition 1.3.16.** Es seien  $V$  ein  $\mathbb{K}$ -Vektorraum und  $U$  sein Dualraum. Der *Dualkegel* eines konvexen Kegels  $\sigma \subseteq V$  ist der konvexe Kegel

$$\sigma^\vee := \{u \in U; \langle u, v \rangle \geq 0 \text{ für alle } v \in \sigma\} = \text{POrt}(\sigma) \subseteq U.$$

**Aufgabe 1.3.17.** Bestimme den Dualkegel  $\sigma^\vee$  für einfache Beispiele konvexer Kegel  $\sigma \subseteq \mathbb{R}^2$ , etwa

$$\sigma = \{0\}, \text{Pos}(e_1), \text{Pos}(3e_1 + e_2, e_1 + 2e_2).$$

Wie kann man den Dualkegel  $\sigma^\vee$  eines zweidimensionalen konvexen Kegels  $\sigma \subseteq \mathbb{R}^2$  geometrisch konstruieren?



**Beispiel 1.3.18.** Mit der Identifikation  $(\mathbb{K}^n)^* = \mathbb{K}^n$  aus Bemerkung 1.1.7 und  $\gamma^n := \text{Pos}(e^1, \dots, e^n)$  erhalten wir für den Orthanten

$$(\delta^n)^\vee = \text{Pos}(e_1, \dots, e_n)^\vee = \text{Pos}(e^1, \dots, e^n) = \gamma^n.$$

**Satz 1.3.19.** Es seien  $V$  ein endlichdimensionaler  $\mathbb{K}$ -Vektorraum,  $U$  sein Dualraum,  $\sigma, \tau \subseteq V$  konvexe Kegel und  $\sigma^\vee, \tau^\vee \subseteq U$  die zugehörigen Dualkegel. Dann gilt

$$\tau \subseteq \sigma \Rightarrow \tau^\vee \supseteq \sigma^\vee, \quad \sigma \subseteq \sigma^{\vee\vee}.$$

*Beweis.* Zur ersten Aussage. Gilt  $u \in \sigma^\vee$ , so haben wir  $u|_\sigma \geq 0$ , folglich  $u|_\tau \geq 0$  und somit  $u \in \tau^\vee$ . Wir zeigen die zweite Aussage. Gilt  $v \in \sigma$ , so gilt  $v(u) = u(v) \geq 0$  für alle  $u \in \sigma^\vee$  und somit  $v \in \sigma^{\vee\vee}$ .  $\square$

1.4. **Konvexe Hülle, konvexe Mengen und Polyeder.**

**Definition 1.4.1.** Es seien  $V$  ein  $\mathbb{K}$ -Vektorraum und  $S \subseteq V$  eine Teilmenge. Eine *Konvexkombination über  $S$*  ist ein Vektor  $v \in V$  der Form

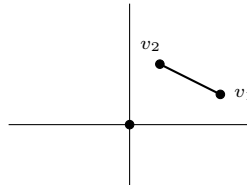
$$v = \sum_{i=1}^r \lambda_i v_i, \quad v_1, \dots, v_r \in S, \quad \lambda_1, \dots, \lambda_r \in \mathbb{K}_{\geq 0}, \quad \lambda_1 + \dots + \lambda_r = 1.$$

Die *konvexe Hülle über  $S$*  ist die Menge  $\text{Konv}(S) \subseteq V$  aller Konvexkombinationen über  $S$ . Man setzt

$$\text{Konv}(\emptyset) := \emptyset, \quad \text{Konv}(v_1, \dots, v_n) := \text{Konv}(S), \quad \text{falls } S = \{v_1, \dots, v_n\}.$$

**Definition 1.4.2.** Eine Teilmenge  $\mathcal{A}$  eines  $\mathbb{K}$ -Vektorraumes  $V$  nennt man *konvex* (in Zeichen  $\mathcal{A} \subseteq_{\text{konv}} V$ ), falls für je zwei  $v_1, v_2 \in \mathcal{A}$  jede Konvexkombination  $\lambda_1 v_1 + \lambda_2 v_2$  in  $\mathcal{A}$  liegt.

**Aufgabe 1.4.3.** Es sei  $\mathcal{A}$  eine Teilmenge des  $\mathbb{R}^n$ ,  $n \leq 3$ . Was bedeutet “für je zwei  $v_1, v_2 \in \mathcal{A}$  liegt jede Konvexkombination  $\lambda_1 v_1 + \lambda_2 v_2$  in  $\mathcal{A}$ ” geometrisch?



Veranschauliche die Begriffe Konvexkombination, konvexe Hülle und konvexe Menge anhand geeigneter Beispiele bzw. Nicht-Beispiele.

**Beispiel 1.4.4.** Das *Standardsimplex*  $\mathcal{S}^n \subseteq \mathbb{K}^{n+1}$  ist die konvexe Hülle über die Standardeinheitsvektoren  $e_1, \dots, e_{n+1} \in \mathbb{K}^{n+1}$ :

$$\begin{aligned} \mathcal{S}^n &= \text{Konv}(e_1, \dots, e_{n+1}) \\ &= \{x \in \mathbb{K}^{n+1}; 0 \leq x_1, \dots, x_{n+1} \leq 1, x_1 + \dots + x_{n+1} = 1\}. \end{aligned}$$

**Bemerkung 1.4.5.** Es seien  $V$  ein  $\mathbb{K}$ -Vektorraum und  $S \subseteq V$  eine Teilmenge. Dann ist jede Konvexkombination über  $S$  auch Linear-, Affin- und Positivkombination über  $S$ . Insbesondere sind lineare Unterräume, affine Unterräume und konvexe Kegel stets konvexe Mengen.

**Lemma 1.4.6.** Es seien  $V$  ein  $\mathbb{K}$ -Vektorraum und  $S \subseteq V$  eine Teilmenge. Dann gilt  $S \subseteq \text{Konv}(S) \subseteq_{\text{konv}} V$ .

*Beweis.* Für jedes  $v \in S$  liegt die Konvexkombination  $1 \cdot v$  in  $\text{Konv}(S)$ . Folglich gilt  $S \subseteq \text{Konv}(S)$ . Für den Nachweis von  $\text{Konv}(S) \subseteq_{\text{konv}} V$  seien  $v, v' \in \text{Konv}(S)$  und  $\lambda, \lambda' \in \mathbb{K}_{\geq 0}$  mit  $\lambda + \lambda' = 1$  gegeben. Dann erhalten wir

$$\lambda v + \lambda' v' = \lambda \sum_{i=1}^n \lambda_i v_i + \lambda' \sum_{j=1}^m \lambda'_j v'_j = \sum_{i=1}^n \lambda \lambda_i v_i + \sum_{j=1}^m \lambda' \lambda'_j v'_j \in \text{Konv}(S),$$

wobei  $v = \lambda_1 v_1 + \dots + \lambda_n v_n$  sowie  $v' = \lambda'_1 v'_1 + \dots + \lambda'_m v'_m$  Darstellungen als Konvexkombinationen über  $S$  sind, die Koeffizienten  $\lambda \lambda_1, \dots, \lambda \lambda_n, \lambda' \lambda'_1, \dots, \lambda' \lambda'_m$  alle nicht negativ sind und sich insgesamt zu 1 aufsummieren.  $\square$

**Lemma 1.4.7.** *Es seien  $V$  ein  $\mathbb{K}$ -Vektorraum und  $\mathcal{A} \subseteq V$  eine konvexe Menge. Dann gilt  $\text{Konv}(\mathcal{A}) = \mathcal{A}$ .*

*Beweis.* Die Inklusion “ $\mathcal{A} \subseteq \text{Konv}(\mathcal{A})$ ” ergibt sich direkt aus Lemma 1.4.6. Nehmen wir an, es gelte  $\text{Konv}(\mathcal{A}) \not\subseteq \mathcal{A}$ . Dann gibt es Konvexkombinationen

$$v = \sum_{i=1}^n \lambda_i v_i \in \text{Konv}(\mathcal{A}) \setminus \mathcal{A}, \quad \lambda_i \neq 0, \quad i = 1, \dots, n.$$

Es sei  $v$  eine solche Konvexkombination mit minimaler Länge  $n$ . Nach Definition einer konvexen Menge gilt  $n \geq 3$ , und wir dürfen  $\lambda_1 \neq 1$  annehmen. Es folgt

$$v' := \sum_{i=2}^n \frac{\lambda_i}{1 - \lambda_1} v_i \in \mathcal{A}, \quad v = \lambda_1 v_1 + (1 - \lambda_1) v' \in \mathcal{A},$$

wobei  $v' \in \text{Konv}(\mathcal{A})$ , somit  $v' \in \mathcal{A}$  nach Wahl von  $v$  und  $v \in \mathcal{A}$  nach Definition einer konvexen Menge gilt. Widerspruch. Also gilt  $\text{Konv}(\mathcal{A}) \subseteq \mathcal{A}$ .  $\square$

**Satz 1.4.8.** *Es sei  $V$  ein  $\mathbb{K}$ -Vektorraum. Dann gelten folgende Aussagen:*

- (i) *Ist  $(\mathcal{A}_i)_{i \in I}$  eine Familie konvexer Mengen in  $V$ , so ist auch der Durchschnitt eine konvexe Menge:*

$$\bigcap_{i \in I} \mathcal{A}_i \subseteq_{\text{konv}} V.$$

- (ii) *Für jede Teilmenge  $S \subseteq V$  ist  $\text{Konv}(S) \subseteq V$  eine konvexe Menge mit  $S \subseteq \text{Konv}(S)$ . Genauer gilt*

$$\text{Konv}(S) = \bigcap_{\substack{\mathcal{A} \subseteq_{\text{konv}} V \\ S \subseteq \mathcal{A}}} \mathcal{A},$$

*d.h.,  $\text{Konv}(S)$  ist die bezüglich Inklusion kleinste konvexe Menge in  $V$ , die  $S$  enthält.*

- (iii) *Sind  $\mathcal{A}_1, \dots, \mathcal{A}_r \subseteq V$  konvexe Mengen, so ist die Summe  $\mathcal{A}_1 + \dots + \mathcal{A}_r \subseteq V$  ebenfalls eine konvexe Menge.*
- (iv) *Ist  $F: V \rightarrow W$  eine affine Abbildung zwischen  $\mathbb{K}$ -Vektorräumen  $V$  und  $W$ , so gilt stets*

$$\mathcal{A} \subseteq_{\text{konv}} V \Rightarrow F(\mathcal{A}) \subseteq_{\text{konv}} W, \quad \mathcal{B} \subseteq_{\text{konv}} W \Rightarrow F^{-1}(\mathcal{B}) \subseteq_{\text{konv}} V.$$

*Beweis.* Aussage (i) ist offensichtlich. Zu (ii). Nach Lemma 1.4.6 ist  $\text{Konv}(S) \subseteq V$  eine konvexe Menge mit  $S \subseteq \text{Konv}(S)$ . Das beweist die erste Aussage. Weiter erhalten wir damit die Inklusion “ $\supseteq$ ” aus der Behauptung: Es gilt

$$\text{Konv}(S) \supseteq \text{Konv}(S) \cap \bigcap_{\substack{\mathcal{A} \subseteq_{\text{konv}} V \\ S \subseteq \mathcal{A}}} \mathcal{A} = \bigcap_{\substack{\mathcal{A} \subseteq_{\text{konv}} V \\ S \subseteq \mathcal{A}}} \mathcal{A}.$$

Für den Nachweis der Inklusion “ $\subseteq$ ” aus der Behauptung sei  $\mathcal{A} \subseteq_{\text{konv}} V$  mit  $S \subseteq \mathcal{A}$  gegeben. Lemma 1.4.7 liefert  $\mathcal{A} = \text{Konv}(\mathcal{A})$ . Insbesondere liegt jede Konvexkombination über  $S$  in  $\mathcal{A}$ . Wir schließen  $\text{Konv}(S) \subseteq \mathcal{A}$ .

Wir zeigen (iii). Es sei eine Konvexkombination  $\lambda v + \lambda' v'$  mit  $v, v' \in \mathcal{A}_1 + \dots + \mathcal{A}_r$  gegeben. Dann gibt es Darstellungen

$$v = v_1 + \dots + v_r, \quad v' = v'_1 + \dots + v'_r, \quad v_i, v'_i \in \mathcal{A}_i, \quad i = 1, \dots, r.$$

Insbesondere ist jedes  $\lambda v_i + \lambda' v'_i$  eine Konvexkombination über  $\mathcal{A}_i$  und liegt somit in  $\mathcal{A}_i$ . Es folgt

$$\lambda v + \lambda' v' = (\lambda v_1 + \lambda' v'_1) + \dots + (\lambda v_r + \lambda' v'_r) \in \mathcal{A}_1 + \dots + \mathcal{A}_r.$$

Zu (iv). Wir zeigen  $F(\mathcal{A}) \subseteq_{\text{konv}} W$ . Es sei eine Konvexkombination  $\lambda_1 w_1 + \lambda_2 w_2$  über  $F(\mathcal{A})$  gegeben. Wegen  $w_1, w_2 \in F(\mathcal{A})$  gibt es  $v_1, v_2 \in \mathcal{A}$  mit  $F(v_i) = w_i$ . Da  $\mathcal{A}$  konvex ist, gilt  $\lambda_1 v_1 + \lambda_2 v_2 \in \mathcal{A}$ . Mit Lemma 1.2.15 folgt

$$\lambda_1 w_1 + \lambda_2 w_2 = F(\lambda_1 v_1 + \lambda_2 v_2) \in F(\mathcal{A}).$$

Wir zeigen  $F^{-1}(\mathcal{B}) \subseteq_{\text{konv}} V$ . Es sei eine Konvexkombination  $\lambda_1 w_1 + \lambda_2 w_2$  über  $F^{-1}(\mathcal{B})$  gegeben. Dann haben wir  $w_i := F(v_i) \in \mathcal{B}$ . Da  $\mathcal{B}$  konvex ist, gilt  $\lambda_1 w_1 + \lambda_2 w_2 \in \mathcal{B}$ . Mit Lemma 1.2.15 sehen wir dann, dass  $\lambda_1 v_1 + \lambda_2 v_2$  in  $F^{-1}(\mathcal{B})$  liegt:

$$F(\lambda_1 v_1 + \lambda_2 v_2) = \lambda_1 w_1 + \lambda_2 w_2 \in \mathcal{B}.$$

□

**Konstruktion 1.4.9.** Es sei  $V$  ein  $\mathbb{K}$ -Vektorraum. Jede nicht-konstante Affinform  $f \in \text{AF}(V)$  definiert einen *affinen Halbraum*  $\text{POrt}(f)$  in  $V$ :

$$\text{POrt}(f) := \{v \in V; f(v) \geq 0\} \subseteq V.$$

Ist allgemeiner eine Teilmenge  $R \subseteq \text{AF}(V)$  gegeben, so definieren wir den zugehörigen *Positivort* als

$$\text{POrt}(R) := \{v \in V; f(v) \geq 0 \text{ für alle } f \in R\} = \bigcap_{f \in R} \text{POrt}(f) \subseteq V.$$

Gilt  $R = \{f_1, \dots, f_m\}$  mit Affinformen  $f_1, \dots, f_m \in \text{AF}(V)$ , so schreiben wir auch  $N(f_1, \dots, f_m)$  bzw.  $\text{POrt}(f_1, \dots, f_m)$  anstelle von  $N(R)$  bzw.  $\text{POrt}(R)$ .

**Bemerkung 1.4.10.** Es seien  $V$  ein  $\mathbb{K}$ -Vektorraum und  $R \subseteq \text{AF}(V)$ . Für die Menge  $-R \subseteq \text{AF}(V)$  und die Nullstellenmenge  $N(R) \subseteq V$  gilt

$$N(R) = \text{POrt}(R) \cap \text{POrt}(-R) \subseteq \text{POrt}(R).$$

**Aufgabe 1.4.11.** Veranschauliche anhand geeigneter Beispiele in  $\mathbb{R}^n$ ,  $n \leq 3$ , den affinen Halbraum  $\text{POrt}(f)$  einer Affinform  $f \in \text{AF}(\mathbb{R}^n)$ .



Präsentiere Beispiele für den Positivort  $\text{POrt}(f_1, \dots, f_m)$  mehrerer Affinformen  $f_1, \dots, f_m \in \text{AF}(\mathbb{R}^n)$ .

**Definition 1.4.12.** Es sei  $V$  ein  $\mathbb{K}$ -Vektorraum. Eine Teilmenge  $\mathcal{B} \subseteq V$  heißt *konvexes Polyeder*, falls  $\mathcal{B} = \text{POrt}(f_1, \dots, f_m)$  mit  $f_1, \dots, f_m \in \text{AF}(V)$  gilt.

**Satz 1.4.13.** Es sei  $V$  ein  $\mathbb{K}$ -Vektorraum. Dann ist jedes konvexe Polyeder  $\mathcal{B} \subseteq V$  eine konvexe Menge in  $V$ .

*Beweis.* Es sei  $\mathcal{B} = \text{POrt}(f_1, \dots, f_m)$  mit  $f_1, \dots, f_m \in \text{AF}(V)$ . Ist  $\lambda_1 v_1 + \lambda_2 v_2$  eine Konvexkombination über  $\mathcal{B}$ , so erhalten wir

$$f_j(\lambda_1 v_1 + \lambda_2 v_2) = \lambda_1 f_j(v_1) + \lambda_2 f_j(v_2) \geq 0$$

für  $j = 1, \dots, m$ ; siehe Lemma 1.2.15. Das bedeutet  $\lambda_1 v_1 + \lambda_2 v_2 \in \text{POrt}(f_1, \dots, f_m)$ . Folglich ist  $\mathcal{B} = \text{POrt}(f_1, \dots, f_m)$  konvex. □

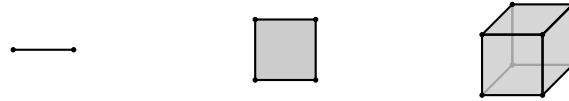
**Bemerkung 1.4.14.** Es sei  $V$  ein  $\mathbb{K}$ -Vektorraum. Dann ist jeder Untervektorraum  $V_0 \subseteq V$  und jeder affine Unterraum  $A \subseteq V$  ein konvexes Polyeder.

**Definition 1.4.15.** Es seien  $V$  ein  $\mathbb{K}$ -Vektorraum und  $\mathcal{A} \subseteq V$  eine konvexe Menge. Die *Dimension* von  $\mathcal{A}$  ist die Dimension ihrer affinen Hülle:

$$\dim(\mathcal{A}) := \dim(\text{Aff}(\mathcal{A})).$$

**Beispiel 1.4.16.** Es bezeichne  $(e_1, \dots, e_n)$  die Standardbasis des  $\mathbb{K}^n$ . Der *n-dimensionale Standard-Würfel* in  $\mathbb{K}^n$  ist definiert als

$$W_n := \text{Konv}(\varepsilon_1 e_1 + \dots + \varepsilon_n e_n; \varepsilon_i \in \{1, -1\}) \subseteq \mathbb{K}^n.$$

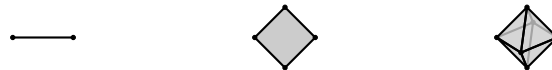


Der  $n$ -dimensionale Standard-Würfel in  $\mathbb{K}^n$  ist ein konvexes Polyeder: Mit der zu  $(e_1, \dots, e_n)$  dualen Basis  $(e^1, \dots, e^n)$  haben wir

$$W_n = \text{POrt}(\pm e^1 + 1, \dots, \pm e^n + 1) \subseteq \mathbb{K}^n.$$

**Beispiel 1.4.17.** Es bezeichne  $(e_1, \dots, e_n)$  die Standardbasis des  $\mathbb{K}^n$ . Das *n-dimensionale Standard-Kreuzpolytop* in  $\mathbb{K}^n$  ist definiert als

$$K_n = \text{Konv}(\pm e_1, \dots, \pm e_n) \subseteq \mathbb{K}^n.$$



Das  $n$ -dimensionale Standard-Kreuzpolytop in  $\mathbb{K}^n$  ist ein konvexes Polyeder: Mit der zu  $(e_1, \dots, e_n)$  dualen Basis  $(e^1, \dots, e^n)$  haben wir

$$K_n := \text{POrt}(\varepsilon_1 e^1 + \dots + \varepsilon_n e^n + 1; \varepsilon_i \in \{1, -1\}) \subseteq \mathbb{K}^n.$$

## 2. POLYEDRISCHE KONVEXE KEGEL

## 2.1. Polyedrische Kegel 1.

**Definition 2.1.1.** Es sei  $V$  ein  $\mathbb{K}$ -Vektorraum. Ein *endlich erzeugter konvexer Kegel* in  $V$  ist eine Teilmenge der Form  $\sigma = \text{Pos}(v_1, \dots, v_r) \subseteq V$  mit  $v_1, \dots, v_r \in V$ .

**Aufgabe 2.1.2.** Präsentiere Beispiele endlich erzeugter konvexer Kegel in  $\mathbb{R}^n$ ,  $n \leq 3$ . Gibt es auch nicht endlich erzeugte konvexe Kegel in  $\mathbb{R}^n$ ?

**Beispiel 2.1.3.** Der positive Orthant  $\delta^n = \mathbb{K}_{\geq 0}^n \subseteq \mathbb{K}^n$  ist ein endlich erzeugter konvexer Kegel: Wir haben

$$\delta^n = \text{Pos}(e_1, \dots, e_n).$$

**Bemerkung 2.1.4.** Es seien  $V$  ein  $\mathbb{K}$ -Vektorraum,  $\varphi: V \rightarrow V'$  eine lineare Abbildung und  $v_1, \dots, v_r \in V$ . Dann haben wir

$$\varphi(\text{Pos}(v_1, \dots, v_r)) = \text{Pos}(\varphi(v_1), \dots, \varphi(v_r)).$$

Insbesondere sind Bilder endlich erzeugter konvexer Kegel unter linearen Abbildungen endlich erzeugte konvexe Kegel.

**Satz 2.1.5.** Es seien  $V$  ein  $\mathbb{K}$ -Vektorraum,  $S \subseteq V$  eine Teilmenge und  $r \in \mathbb{Z}_{\geq 1}$ . Dann sind die folgenden Aussagen äquivalent:

- (i) Es gibt Vektoren  $v_1, \dots, v_r \in V$  mit  $S = \text{Pos}(v_1, \dots, v_r)$ .
- (ii) Es gibt eine lineare Abbildung  $\varphi: \mathbb{K}^r \rightarrow V$  mit  $S = \varphi(\delta^r)$ .

Insbesondere sind die endlich erzeugten konvexen Kegel genau die Bilder positiver Orthanten unter linearen Abbildungen.

*Beweis.* Die Implikation “(ii) $\Rightarrow$ (i)” ergibt sich direkt aus Bemerkung 2.1.4. Für den Nachweis von “(i) $\Rightarrow$ (ii)” betrachten wir die durch

$$\varphi: \mathbb{K}^r \rightarrow V, \quad e_i \mapsto v_i$$

definierte lineare Abbildung. Bemerkung 2.1.4 liefert dann die gewünschte Darstellung  $S = \text{Pos}(\varphi(e_1), \dots, \varphi(e_r)) = \varphi(\delta^r)$ .  $\square$

**Definition 2.1.6.** Es sei  $V$  ein  $\mathbb{K}$ -Vektorraum und  $U$  sein Dualraum. Ein *polyedrischer konvexer Kegel* in  $V$  ist eine Teilmenge der Form  $\sigma = \text{POrt}(u_1, \dots, u_s) \subseteq V$  mit  $u_1, \dots, u_s \in U$ .

**Bemerkung 2.1.7.** Nach Satz 1.3.15 sind polyedrische konvexe Kegel stets konvexe Kegel im Sinne von Definition 1.3.2. Weiter ist jeder polyedrische konvexe Kegel ein konvexes Polyeder im Sinne von Definition 1.4.12.

**Aufgabe 2.1.8.** Präsentiere Beispiele polyedrischer konvexer Kegel in  $\mathbb{R}^n$ ,  $n \leq 3$ . Gibt es auch nicht-polyedrische konvexe Kegel in  $\mathbb{R}^n$ ?

**Bemerkung 2.1.9.** Es sei  $V$  ein  $\mathbb{K}$ -Vektorraum. Jeder lineare Unterraum  $V_0 \subseteq V$  ist ein endlich erzeugter und polyedrischer konvexer Kegel: Es gilt

$$V_0 = \text{Pos}(\pm v_1, \dots, \pm v_k) = \text{POrt}(\pm u_{k+1}, \dots, \pm u_n),$$

wobei  $(v_1, \dots, v_n)$  eine Basis für  $V$  ist mit  $V_0 = \text{Lin}(v_1, \dots, v_k)$  und  $(u_1, \dots, u_n)$  die zugehörige duale Basis in  $U = V^*$  bezeichnet.

**Beispiel 2.1.10.** Der positive Orthant  $\delta^n = \mathbb{K}_{\geq 0}^n \subseteq \mathbb{K}^n$  ist ein polyedrischer konvexer Kegel: Wir haben

$$\delta^n = \text{POrt}(e^1, \dots, e^n).$$

**Erinnerung 2.1.11.** Es seien  $V, V'$  zwei  $\mathbb{K}$ -Vektorräume,  $U, U'$  ihre Dualräume und  $\varphi: V \rightarrow V'$  eine lineare Abbildung. Die zugehörige *duale Abbildung* ist

$$\varphi^*: U' \rightarrow U, \quad u' \mapsto \varphi^*(u') := u' \circ \varphi.$$

Dabei ist jedes  $\varphi^*(u')$  als Komposition linearer Abbildungen linear. Weiter ist  $\varphi^*: U' \rightarrow U$  eine lineare Abbildung, siehe [1, Satz 4.4.6].

**Bemerkung 2.1.12.** Es seien  $V, V'$  zwei  $\mathbb{K}$ -Vektorräume,  $U, U'$  ihre Dualräume und  $\varphi: V \rightarrow V'$  eine lineare Abbildung. Sind  $u'_1, \dots, u'_s \in U'$  gegeben, so gilt

$$\begin{aligned} \varphi^{-1}(\text{POrt}(u'_1, \dots, u'_s)) &= \{v \in V; u'_1(\varphi(v)) \geq 0, \dots, u'_s(\varphi(v)) \geq 0\} \\ &= \text{POrt}(\varphi^*(u'_1), \dots, \varphi^*(u'_s)). \end{aligned}$$

Insbesondere sehen wir damit, dass Urbilder polyedrischer konvexer Kegel unter linearen Abbildungen polyedrische konvexe Kegel sind.

**Satz 2.1.13.** *Es seien  $V$  ein  $\mathbb{K}$ -Vektorraum,  $U$  sein Dualraum,  $S \subseteq V$  eine Teilmenge und  $s \in \mathbb{Z}_{\geq 1}$ . Dann sind die folgenden Aussagen äquivalent:*

- (i) *Es gibt Linearformen  $u_1, \dots, u_s \in U$  mit  $S = \text{POrt}(u_1, \dots, u_s)$ .*
- (ii) *Es gibt eine lineare Abbildung  $\psi: V \rightarrow \mathbb{K}^s$  mit  $S = \psi^{-1}(\delta^s)$ .*

*Insbesondere sind die polyedrischen konvexen Kegel genau die Urbilder positiver Orthanten unter linearen Abbildungen.*

*Beweis.* Die Implikation “(ii) $\Rightarrow$ (i)” ergibt sich direkt aus Bemerkung 2.1.12. Für den Nachweis von “(i) $\Rightarrow$ (ii)” betrachten wir die lineare Abbildung

$$\psi: V \rightarrow \mathbb{K}^s, \quad v \mapsto (u_1(v), \dots, u_s(v)).$$

Für  $v \in V$  haben wir genau dann  $\psi(v) \in \delta^s$ , wenn  $u_i(v) \geq 0$  für  $i = 1, \dots, s$  gilt. Das bedeutet  $S = \text{POrt}(u_1, \dots, u_s) = \psi^{-1}(\delta^s)$ .  $\square$

**Erinnerung 2.1.14.** Es sei  $\sigma \subseteq V$  ein konvexer Kegel. Der zugehörige *duale Kegel*, auch *Dualkegel* genannt, ist der konvexe Kegel

$$\sigma^\vee := \{u \in U; u|_\sigma \geq 0\} \subseteq U.$$

Der Übergang zum Dualkegel ist inklusionsumkehrend, d.h., sind  $\sigma \subseteq V$  und  $\tau \subseteq V$  konvexe Kegel, so gilt

$$\tau \subseteq \sigma \quad \Rightarrow \quad \tau^\vee \supseteq \sigma^\vee.$$

**Satz 2.1.15** (Hahn-Banach). *Es seien  $V$  ein  $\mathbb{K}$ -Vektorraum mit Dualraum  $U$  und  $\sigma \subseteq V$  ein polyedrischer konvexer Kegel mit Dualkegel  $\sigma^\vee \subseteq U$ . Dann gibt es zu jedem  $v \in V \setminus \sigma$  eine Linearform  $u \in \sigma^\vee$  mit  $u(v) < 0$ .*

*Beweis.* Die Aussage gilt offensichtlich, falls  $\sigma$  ein positiver Orthant ist. Für den allgemeinen Fall wählen wir eine lineare Abbildung  $\psi: V \rightarrow \mathbb{K}^s$  mit  $\sigma = \psi^{-1}(\delta^s)$ . Dann gilt  $\psi(v) \notin \delta^s$ . Folglich gibt es eine Linearform  $u'$  auf  $\mathbb{K}^s$ , die keine negativen Werte auf  $\delta^s$  annimmt und  $u'(\psi(v)) < 0$  erfüllt. Die zurückgeholte Linearform  $u := u' \circ \psi$  besitzt also die gewünschten Eigenschaften.  $\square$

**Erinnerung 2.1.16.** Es seien  $V$  ein  $\mathbb{K}$ -Vektorraum und  $U$  sein Dualraum. Für  $u \in U$  und  $v \in V$  schreiben wir

$$v(u) := \langle u, v \rangle := u(v).$$

Die erste Gleichung erlaubt es uns,  $V$  als den Dualraum von  $U$  anzusehen, d.h., wir haben  $(V^*)^* = V$ .

**Satz 2.1.17** (Dualitätssatz). *Es seien  $V$  ein  $\mathbb{K}$ -Vektorraum und  $\sigma \subseteq V$  ein polyedrischer konvexer Kegel. Dann gilt*

$$(\sigma^\vee)^\vee = \sigma.$$

*Beweis.* Satz 1.3.19 liefert  $(\sigma^\vee)^\vee \supseteq \sigma$ . Der Nachweis der Inklusion  $(\sigma^\vee)^\vee \subseteq \sigma$  erfolgt indirekt: Nehmen wir an, es existiere ein  $v \in (\sigma^\vee)^\vee$  mit  $v \notin \sigma$ . Dann gibt es nach dem Satz von Hahn-Banach ein Element  $u \in \sigma^\vee$  mit  $u(v) < 0$ . Mit anderen Worten, es gilt  $v(u) < 0$  und somit  $v \notin (\sigma^\vee)^\vee$ , Widerspruch.  $\square$

**Satz 2.1.18.** *Es sei  $V$  ein  $\mathbb{K}$ -Vektorraum mit Dualraum  $U$ . Weiter seien Elemente  $v_1, \dots, v_r \in V$  gegeben. Dann gilt*

$$\text{Pos}(v_1, \dots, v_r)^\vee = \text{POrt}(v_1, \dots, v_r).$$

*Insbesondere ist der Dualkegel eines endlich erzeugten konvexen Kegels stets ein polyedrischer konvexer Kegel.*

*Beweis.* Wir setzen  $\sigma := \text{Pos}(v_1, \dots, v_r) \subseteq V$ . Dann ist der Dualkegel von  $\sigma$  gegeben durch

$$\begin{aligned} \sigma^\vee &= \{u \in U; u(v) \geq 0 \text{ für alle } v \in \sigma\} \\ &= \{u \in U; u(v_i) \geq 0, i = 1, \dots, r\} \\ &= \{u \in U; v_i(u) \geq 0, i = 1, \dots, r\} \\ &= \text{POrt}(v_1, \dots, v_r). \end{aligned}$$

$\square$

**Aufgabe 2.1.19.** Nutze Satz 2.1.18 zur expliziten Bestimmung der Dualkegel für geeignete Beispiele endlich erzeugter konvexer Kegel in  $\mathbb{R}^n$ ,  $n \leq 3$ .



## 2.2. Polyedrische Kegel 2.

**Satz 2.2.1.** *Es seien  $V$  ein  $\mathbb{K}$ -Vektorraum und  $U$  sein Dualraum. Für jede Teilmenge  $\sigma \subseteq V$  sind die folgenden Aussagen äquivalent:*

- (i) *Es gibt Vektoren  $v_1, \dots, v_n \in V$  mit  $\sigma = \text{Pos}(v_1, \dots, v_n)$ .*
- (ii) *Es gibt Linearformen  $u_1, \dots, u_m \in U$  mit  $\sigma = \text{POrt}(u_1, \dots, u_m)$ .*

*Insbesondere sind die endlich erzeugten konvexen Kegel genau die polyedrischen konvexen Kegel.*

**Lemma 2.2.2.** *Es seien  $\varphi: V \rightarrow V'$  ein Isomorphismus von  $\mathbb{K}$ -Vektorräumen,  $u_1, \dots, u_n$  Linearformen auf  $V$  und  $\sigma = \text{POrt}(u_1, \dots, u_n) \subseteq V$ . Dann gilt*

$$\varphi(\sigma) = \text{POrt}(u'_1, \dots, u'_n) \subseteq V', \quad u'_i := u_i \circ \varphi^{-1}, \quad i = 1, \dots, n.$$

*Beweis.* Die Mitgliedschaft eines Vektors  $v' \in V'$  im Bild  $\varphi(\sigma) \subseteq V'$  von  $\sigma \subseteq V$  lässt sich wie folgt charakterisieren:

$$\begin{aligned} v' \in \varphi(\sigma) &\iff \varphi^{-1}(v') \in \sigma \\ &\iff u_i(\varphi^{-1}(v')) \geq 0, \quad i = 1, \dots, n \\ &\iff u_i \circ \varphi^{-1}(v') \geq 0, \quad i = 1, \dots, n. \end{aligned}$$

□

**Lemma 2.2.3.** *Es sei  $(v_1, \dots, v_n)$  eine Basis für  $\mathbb{K}^n$  und es sei  $u_i \in \mathbb{K}^n$  die  $i$ -te Zeile der Matrix  $[v_1, \dots, v_n]^{-1}$ , wobei  $i = 1, \dots, n$ . Dann gilt*

$$\text{Pos}(v_1, \dots, v_n) = \text{POrt}(u_1, \dots, u_n).$$

*Beweis.* Wir betrachten den Isomorphismus  $\varphi: \mathbb{K}^n \rightarrow \mathbb{K}^n$ ,  $x \mapsto P \cdot x$ , wobei wir  $P := [v_1, \dots, v_n]$  setzen. Mit  $u_i := e^i \circ \varphi^{-1}$  gilt

$$\text{Pos}(v_1, \dots, v_n) = \varphi(\delta_n) = \varphi(\text{POrt}(e^1, \dots, e^n)) = \text{POrt}(u_1, \dots, u_n),$$

siehe Lemma 2.2.2. Nach Definition von  $\varphi$  ist dabei  $u_i = e^i \circ \varphi^{-1}$  die  $i$ -te Zeile der Matrix  $[v_1, \dots, v_n]^{-1}$ . □

**Lemma 2.2.4** (Fourier-Motzkin-Elimination). *Es seien  $B$  eine endliche Menge von Linearformen  $u = (u_1, \dots, u_n)$  auf  $\mathbb{K}^n$  und  $\sigma := \text{POrt}(B) \subseteq \mathbb{K}^n$ . Wir betrachten*

$$B_n := \{u \in B; u_n = 0\} \cup \{u_n^+ u^- - u_n^- u^+; u^+, u^- \in B, u_n^+ > 0, u_n^- < 0\},$$

$$\tilde{B}_n := \{(u_1, \dots, u_{n-1}); u \in B_n\}$$

*und die Projektion  $\pi: \mathbb{K}^n \rightarrow \mathbb{K}^{n-1}$ ,  $(v_1, \dots, v_n) \mapsto (v_1, \dots, v_{n-1})$  auf die ersten  $n-1$  Koordinaten. Dann gilt*

$$\text{POrt}(B_n) = \sigma + \mathbb{K}e_n \subseteq \mathbb{K}^n, \quad \text{POrt}(\tilde{B}_n) = \pi(\sigma) \subseteq \mathbb{K}^{n-1}.$$

*Beweis.* Wir zeigen zunächst, dass die zweite Gleichung aus der ersten folgt. Nach Konstruktion haben wir  $B_n = \pi^*(\tilde{B}_n)$  und erhalten

$$\begin{aligned} \text{POrt}(\tilde{B}_n) &= \pi(\pi^{-1}(\text{POrt}(\tilde{B}_n))) = \pi(\text{POrt}(\pi^*(\tilde{B}_n))) \\ &= \pi(\text{POrt}(B_n)) = \pi(\sigma + \mathbb{K}e_n) = \pi(\sigma). \end{aligned}$$

Wir zeigen “ $\supseteq$ ” für die erste Gleichung. Jedes  $u \in B_n$  ist eine Positivkombination von Linearformen aus  $B$  und es gilt  $u_n = 0$ . Auswerten auf  $v + \alpha e_n \in \sigma + \mathbb{K}e_n$  liefert daher

$$u(v + \alpha e_n) = u(v) + \alpha u_n = u(v) \geq 0.$$

Zur Inklusion “ $\subseteq$ ” der ersten Gleichung. Es sei  $v \in V$  ein Vektor mit  $u(v) \geq 0$  für alle  $u \in B_n$ . Dann erhalten wir

$$u_n^+ u^-(v) \geq u_n^- u^+(v)$$

für je zwei Linearformen  $u^+, u^- \in B$  mit  $u_n^+ > 0$  und  $u_n^- < 0$ . Diese Bedingung lässt sich äquivalent umformulieren zu

$$\frac{u^-(v)}{u_n^-} \leq \frac{u^+(v)}{u_n^+}$$

für je zwei Linearformen  $u^+, u^- \in B$  mit  $u_n^+ > 0$  und  $u_n^- < 0$ . Wir wählen nun ein  $\alpha \in \mathbb{K}$  mit

$$\max\left(\frac{u^-(v)}{u_n^-}; u^- \in B, u_n^- < 0\right) \leq \alpha \leq \min\left(\frac{u^+(v)}{u_n^+}; u^+ \in B, u_n^+ > 0\right)$$

und betrachten  $v' := v - \alpha e_n$ . Dieser Vektor erfüllt  $u(v') \geq 0$  für alle  $u \in B$  mit  $u_n = 0$ . Für  $u^+, u^- \in B$  mit  $u_n^+ > 0$  bzw.  $u_n^- < 0$  erhalten wir weiter

$$u^-(v') = u^-(v) - u_n^- \alpha \geq 0, \quad u^+(v') = u^+(v) - u_n^+ \alpha \geq 0.$$

Wir haben also gesehen, dass  $u(v') \geq 0$  für alle  $u \in B$  gilt. Mit anderen Worten, es gilt  $v' \in \sigma$ . Somit ist  $v = v' + \alpha e_n$  ein Element aus  $\sigma + \mathbb{K}e_n$ .  $\square$

**Erinnerung 2.2.5.** Es sei  $P \in \text{Mat}(m, n; \mathbb{K})$  vom Rang  $m$  mit  $n \geq m$ . Dann gibt es invertierbare Matrizen  $S \in \text{Mat}(m, m; \mathbb{K})$  und  $T \in \text{Mat}(n, n; \mathbb{K})$ , sodass

$$S \cdot A \cdot T = [E_m, 0],$$

wobei die Blockmatrix  $[E_m, 0]$  aus der Einheitsmatrix  $E_m \in \text{Mat}(m, m; \mathbb{K})$  und der Nullmatrix  $0 \in \text{Mat}(m, n - m; \mathbb{K})$  zusammengesetzt ist; siehe [1, Satz 5.1.13].

*Beweis von Satz 2.2.1.* Wir zeigen “(i) $\Rightarrow$ (ii)”. Nach Satz 2.1.5 dürfen wir annehmen, dass  $\sigma = \varphi(\delta^n)$  mit einer linearen Abbildung  $\varphi: \mathbb{K}^n \rightarrow V$  gilt. Bemerkung 2.1.9 liefert Linearformen  $u_1, \dots, u_k$  auf  $V$  mit

$$\text{Bild}(\varphi) = \text{POrt}(u_1, \dots, u_k).$$

Nach Bemerkung 1.1.10 (iii) genügt es daher, den Fall zu behandeln, dass  $\varphi: \mathbb{K}^n \rightarrow V$  surjektiv ist. Weiter können wir annehmen, dass  $V = \mathbb{K}^m$  mit  $m \leq n$  gilt. Gemäß Erinnerung 2.2.5 gibt es ein kommutatives Diagramm

$$\begin{array}{ccc} \mathbb{K}^n & \xrightarrow{\varphi} & \mathbb{K}^m \\ \alpha \downarrow \cong & & \cong \uparrow \beta \\ \mathbb{K}^n & \xrightarrow{\pi} & \mathbb{K}^m \end{array}$$

wobei  $\pi: \mathbb{K}^n \rightarrow \mathbb{K}^m$  die Projektion auf die ersten  $m$  Koordinaten bezeichnet. Im Fall  $m = n$  liefert Lemma 2.2.2 die gewünschte Darstellung von  $\sigma = \varphi(\delta^n)$ . Gilt  $m < n$ , so schreiben wir

$$\pi = \pi_m \circ \dots \circ \pi_{n-2} \circ \pi_{n-1},$$

wobei  $\pi_l: \mathbb{K}^{l+1} \rightarrow \mathbb{K}^l$  die Projektion auf die ersten  $l$  Koordinaten darstellt. In jedem Schritt liefert uns Lemma 2.2.4 eine Darstellung des Bildes von  $\delta^n$  als Positivort endlich vieler Linearformen.

Wir zeigen “(ii) $\Rightarrow$ (i)”. Es sei  $\sigma \subseteq V$  ein polyedrischer konvexer Kegel. Nach Satz 2.1.18 gilt  $\sigma = \tau^\vee$  mit einem endlich erzeugten konvexen Kegel  $\tau \subseteq U$ . Wie eben gezeigt, ist  $\tau$  polyedrisch. Der Dualitätssatz 2.1.17 liefert  $\sigma^\vee = (\tau^\vee)^\vee = \tau$ . Somit ist  $\sigma^\vee \subseteq U$  endlich erzeugt und polyedrisch. Wenden wir die obigen Argumente auf  $\sigma^\vee$  an, so erhalten wir insbesondere, dass  $\sigma = (\sigma^\vee)^\vee$  endlich erzeugt ist.  $\square$

**Folgerung 2.2.6.** *Endliche Summen sowie endliche Durchschnitte polyedrischer konvexer Kegel sind polyedrische konvexe Kegel.*

**Folgerung 2.2.7.** *Es sei  $V$  ein  $\mathbb{K}$ -Vektorraum mit Dualraum  $U$ . Weiter seien Elemente  $u_1, \dots, u_m \in U$  gegeben. Dann gilt*

$$\text{POrt}(u_1, \dots, u_m)^\vee = \text{Pos}(u_1, \dots, u_m).$$

*Insbesondere ist der Dualkegel eines polyedrischen konvexen Kegels stets ein endlich erzeugter konvexer Kegel.*

*Beweis.* Nach Satz 2.2.1 ist  $\text{Pos}(u_1, \dots, u_m)$  polyedrisch und gemäß Satz 2.1.18 gilt  $\text{Pos}(u_1, \dots, u_m)^\vee = \text{POrt}(u_1, \dots, u_m)$ . Dualisieren dieser Gleichung und der Dualitätssatz 2.1.17 liefern die Behauptung.  $\square$



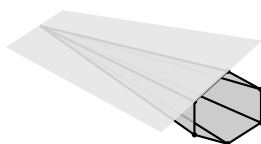
### 2.3. Seiten polyedrischer Kegel.

**Definition 2.3.1.** Es seien  $V$  ein  $\mathbb{K}$ -Vektorraum und  $\sigma \subseteq V$  ein polyedrischer konvexer Kegel. Man nennt  $\tau \subseteq \sigma$  eine *Seite* von  $\sigma$  (in Zeichen  $\tau \preceq \sigma$ ), falls es ein  $u \in \sigma^\vee$  gibt, sodass

$$\tau = u^\perp \cap \sigma.$$

Dabei heißt  $u \in \sigma^\vee$  auch eine *ausschneidende Linearform* für  $\tau \preceq \sigma$ . Wir nennen eine Seite  $\tau \preceq \sigma$  *echt* (in Zeichen  $\tau \prec \sigma$ ), wenn  $\tau \neq \sigma$  gilt. Die Menge aller Seiten von  $\sigma$  wird mit  $\text{Seiten}(\sigma)$  bezeichnet.

**Aufgabe 2.3.2.** Veranschauliche den Seitenbegriff anhand geeigneter Beispiele polyedrischer konvexer Kegel in  $\mathbb{R}^n$  für  $n \leq 3$ .



**Beispiel 2.3.3.** Wir betrachten den positiven Orthanten  $\delta^n = \text{Pos}(e_1, \dots, e_n)$  in  $\mathbb{K}_{\geq 0}^n$ . Jede Teilmenge  $I \subseteq \{1, \dots, n\}$  definiert eine Seite

$$\delta_I^n := \text{Pos}(e_i; i \in I) \preceq \delta^n.$$

Bezeichnet  $(e^1, \dots, e^n)$  die zu  $(e_1, \dots, e_n)$  duale Basis, so erhalten wir ausschneidende Linearformen  $u_I$  für die Seiten  $\delta_I^n \preceq \delta^n$  durch

$$u_I := \varepsilon_1 e^1 + \dots + \varepsilon_n e^n, \quad \varepsilon_i := \begin{cases} 0, & 1 \leq i \leq n, i \in I, \\ 1, & 1 \leq i \leq n, i \notin I. \end{cases}$$

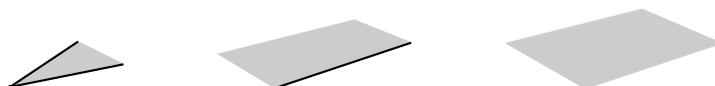
**Bemerkung 2.3.4.** Es sei  $V$  ein  $\mathbb{K}$ -Vektorraum. Die eindimensionalen polyedrischen konvexen Kegel in  $V$  sind genau

- Die *Strahlen*, d.h., die Kegel der Form  $\varrho = \text{Pos}(v)$  mit  $0 \neq v \in V$ . Die Seiten eines Strahls  $\varrho$  sind  $\{0\}$  und  $\varrho$ .
- Die *Geraden*, d.h., die Kegel der Form  $G = \text{Lin}(v)$  mit  $0 \neq v \in V$ . Jede Gerade  $G$  besitzt  $G$  als einzige Seite.



Weiter gibt es genau drei Typen von zweidimensionalen polyedrischen konvexen Kegeln in  $V$ :

- Die *spitzen Kegel*  $\tau = \text{Pos}(v_1, v_2)$  mit  $(v_1, v_2)$  linear unabhängig in  $V$ . Die Seiten eines solchen Kegels sind  $\{0\}$ ,  $\varrho_i = \text{Pos}(v_i)$ ,  $i = 1, 2$  und  $\tau$  selbst.
- Die *Halbebenen*, d.h., die Kegel  $H = G + \varrho$ , wobei  $G$  eine Gerade und  $\varrho$  ein Strahl ist. Die Seiten von  $H$  sind  $G$  und  $H$ .
- Die *Ebenen*, d.h., die Kegel  $E = \text{Lin}(v_1, v_2)$  mit  $(v_1, v_2)$  linear unabhängig in  $V$ . Die einzige Seite einer Ebene  $E$  ist  $E$  selbst.



**Lemma 2.3.5.** Es seien  $V$  ein  $\mathbb{K}$ -Vektorraum,  $v_1, \dots, v_r \in V$  und  $\sigma = \text{Pos}(v_1, \dots, v_r)$ . Für jede Linearform  $u \in \sigma^\vee$  gilt dann

$$u^\perp \cap \sigma = \text{Pos}(v_i; u(v_i) = 0).$$

*Beweis.* Die Inklusion “ $\supseteq$ ” liegt offensichtlich vor. Zum Nachweis von “ $\subseteq$ ” sei ein Element  $v \in u^\perp \cap \sigma$  gegeben. Wegen  $v \in \sigma$  haben wir eine Darstellung

$$v = \alpha_1 v_1 + \dots + \alpha_r v_r, \quad \alpha_1, \dots, \alpha_r \in \mathbb{K}_{\geq 0}.$$

Mit  $v \in u^\perp$  erhalten wir weiter

$$0 = u(v) = \alpha_1 u(v_1) + \dots + \alpha_r u(v_r).$$

Mit  $\alpha_i \geq 0$  und  $u(v_i) \geq 0$  folgt  $\alpha_j = 0$  für alle  $j$  mit  $u(v_j) > 0$ . Das bedeutet  $v \in \text{Pos}(v_i; u(v_i) = 0)$ .  $\square$

**Satz 2.3.6.** *Ein polyedrischer konvexer Kegel besitzt nur endlich viele Seiten, und jede dieser Seiten ist ein polyedrischer konvexer Kegel.*

*Beweis.* Es sei  $\sigma \subseteq V$  ein polyedrischer konvexer Kegel in einem  $\mathbb{K}$ -Vektorraum  $V$ . Dann haben wir  $\sigma = \text{Pos}(v_1, \dots, v_r)$  mit  $v_1, \dots, v_r \in V$  endlich erzeugt. Nach Lemma 2.3.5 ist jede Seite  $\tau \preceq \sigma$  von der Form  $\tau = \text{Pos}(v_{i_1}, \dots, v_{i_k})$  mit  $k \leq r$  und  $1 \leq i_1, \dots, i_k \leq r$ . Insbesondere besitzt  $\sigma$  nur endlich viele  $\tau \preceq \sigma$ , und jedes dieser  $\tau$  ist ein endlich erzeugt, mithin polyedrischer, konvexer Kegel.  $\square$

**Lemma 2.3.7.** *Es seien  $V$  ein  $\mathbb{K}$ -Vektorraum und  $\sigma \subseteq V$  ein polyedrischer konvexer Kegel. Sind  $\varrho \preceq \sigma$  und  $\tau \preceq \sigma$  Seiten mit  $\varrho \subseteq \tau$ , so gilt  $\varrho \preceq \tau$ .*

*Beweis.* Es sei  $u \in \sigma^\vee$  mit  $\varrho = u^\perp \cap \sigma$ . Wegen  $\sigma^\vee \subseteq \tau^\vee$  ist  $u$  auch ausschneidende Linearform für  $\varrho \subseteq \tau$ .  $\square$

**Satz 2.3.8.** *Es seien  $V$  ein  $\mathbb{K}$ -Vektorraum und  $\sigma, \tau \subseteq V$  polyedrische konvexe Kegel. Dann gilt:*

- (i)  $(\sigma \cap \tau)^\vee = \sigma^\vee + \tau^\vee$ .
- (ii)  $(\sigma + \tau)^\vee = \sigma^\vee \cap \tau^\vee$ .

*Beweis.* Zu (i). Die Inklusion “ $\supseteq$ ” ist leicht einzusehen: Ist  $u \in \sigma^\vee$  und  $u' \in \tau^\vee$ , so gilt offensichtlich

$$u|_{\sigma \cap \tau} \geq 0, \quad u'|_{\sigma \cap \tau} \geq 0.$$

Für den Nachweis der Inklusion “ $\subseteq$ ” verwenden wir den Dualitätssatz: Wir müssen lediglich

$$\sigma \cap \tau \supseteq (\sigma^\vee + \tau^\vee)^\vee$$

nachweisen. Es sei  $v \in (\sigma^\vee + \tau^\vee)^\vee$ . Dann gilt  $u(v) \geq 0$  für jedes  $u \in \sigma^\vee$  und  $u'(v) \geq 0$  für jedes  $u' \in \tau^\vee$ . Das impliziert bereits

$$v \in (\sigma^\vee)^\vee \cap (\tau^\vee)^\vee = \sigma \cap \tau.$$

Zu (ii). Wir schreiben  $\sigma = \alpha^\vee$  und  $\tau = \beta^\vee$  mit polyedrischen konvexen Kegeln  $\alpha$  und  $\beta$ . Wie wir bereits gezeigt haben, gilt

$$(\alpha \cap \beta)^\vee = \alpha^\vee + \beta^\vee.$$

Dualisiert man diese Gleichung und setzt dann  $\sigma = \alpha^\vee$  sowie  $\tau = \beta^\vee$  wieder ein, so steht die gewünschte Gleichung da.  $\square$

**Bemerkung 2.3.9.** Es seien  $V$  ein  $\mathbb{K}$ -Vektorraum und  $U$  sein Dualraum. Jede nichtleere Teilmenge  $A \subseteq V$  definiert einen Untervektorraum

$$A^\perp := \{u \in U; u(v) = 0 \text{ für alle } v \in A\} = \bigcap_{v \in A} v^\perp \subseteq_{\text{lin}} U.$$

Dabei gilt stets  $A^\perp = \text{Lin}(A)^\perp$  und  $A^{\perp\perp} = \text{Lin}(A)$ . Ist weiter  $A \subseteq V$  ein Untervektorraum, so ist  $A$  ein polyedrischer konvexer Kegel, und es gilt  $A^\perp = A^\vee$ .

**Satz 2.3.10.** *Es seien  $V$  ein  $\mathbb{K}$ -Vektorraum und  $\sigma \subseteq V$  ein polyedrischer konvexer Kegel. Für jede Seite  $\tau \preceq \sigma$  gilt:*

- (i)  $\tau = \text{Lin}(\tau) \cap \sigma$ ,
- (ii)  $\tau^\vee = \tau^\perp + \sigma^\vee$ .

*Beweis.* Zu (i). Die Inklusion " $\subseteq$ " ist offensichtlich. Zum Nachweis von " $\supseteq$ " sei  $u \in \sigma^\vee$  mit  $\tau = u^\perp \cap \sigma$ . Dann gilt  $\text{Lin}(\tau) \subseteq u^\perp$ . Es folgt

$$\text{Lin}(\tau) \cap \sigma \subseteq u^\perp \cap \sigma = \tau.$$

Aussage (ii) ergibt sich durch Dualisieren der ersten Aussage: Mit Satz 2.3.8 und Bemerkung 2.3.9 erhalten wir

$$\tau^\vee = (\text{Lin}(\tau) \cap \sigma)^\vee = \text{Lin}(\tau)^\vee + \sigma^\vee = \text{Lin}(\tau)^\perp + \sigma^\vee = \tau^\perp + \sigma^\vee.$$

□

**Satz 2.3.11.** *Es seien  $V$  ein  $\mathbb{K}$ -Vektorraum und  $\sigma \subseteq V$  ein polyedrischer konvexer Kegel. Dann hat man folgende Aussagen:*

- (i) Für alle  $\tau \preceq \sigma$  und  $\varrho \preceq \tau$  gilt  $\varrho \preceq \sigma$ .
- (ii) Für je zwei  $\tau_1, \tau_2 \preceq \sigma$  gilt  $\tau_1 \cap \tau_2 \preceq \tau_1, \tau_2, \sigma$ .

Somit ist " $\preceq$ " eine Partialordnung auf  $\text{Seiten}(\sigma)$ . Bezüglich " $\preceq$ " gibt es in  $\text{Seiten}(\sigma)$  genau ein maximales und genau ein minimales Element:

$$\sigma_{\max} = \sigma, \quad \sigma_{\min} = \bigcap_{\tau \preceq \sigma} \tau.$$

Weiter existiert zu gegebenen  $\tau_1, \dots, \tau_k \in \text{Seiten}(\sigma)$  genau ein  $\tau \in \text{Seiten}(\sigma)$ , das maximal ist mit der Eigenschaft " $\tau \preceq \tau_1, \dots, \tau \preceq \tau_k$ ".

*Beweis.* Zu (i). Es seien  $u_\tau \in \sigma^\vee$  und  $u_\varrho \in \tau^\vee$  ausschneidende Linearformen für  $\tau$  bzw.  $\varrho$ . Gemäß Satz 2.3.10 haben wir

$$\tau^\vee = \tau^\perp + \sigma^\vee.$$

Also gibt es eine Darstellung  $u_\varrho = u_1 + u_2$  mit  $u_1 \in \tau^\perp$  und  $u_2 \in \sigma^\vee$ . Wegen  $\tau^\perp \subseteq \varrho^\perp$  gilt  $u_1 = 0$  auf  $\varrho$ . Für  $u_\tau + u_2 \in \sigma^\vee$  erhalten wir dann

$$\begin{aligned} \varrho &= \{v \in \tau; u_\varrho(v) = 0\} \\ &= \{v \in \tau; u_2(v) = 0\} \\ &= \{v \in \sigma; u_\tau(v) = 0, u_2(v) = 0\} \\ &= \{v \in \sigma; u_\tau(v) + u_2(v) = 0\} \\ &= (u_\tau + u_2)^\perp \cap \sigma. \end{aligned}$$

Zu (ii). Sind  $u_i \in \sigma^\vee$  ausschneidende Linearformen für  $\tau_i$ , so ist  $u_1 + u_2 \in \sigma^\vee$  eine ausschneidende Linearform für  $\tau_1 \cap \tau_2 \preceq \sigma$ . Lemma 2.3.7 liefert  $\tau_1 \cap \tau_2 \preceq \tau_1, \tau_2$ . □



2.4. Das relative Innere.

**Definition 2.4.1.** Es sei  $V$  ein  $\mathbb{K}$ -Vektorraum. Das *relative Innere*  $\sigma^\circ \subseteq \sigma$  eines polyedrischen konvexen Kegels  $\sigma \subseteq V$  ist das Komplement der Vereinigung all seiner echten Seiten:

$$\sigma^\circ := \sigma \setminus \bigcup_{\tau \prec \sigma} \tau.$$

**Aufgabe 2.4.2.** Veranschauliche den Begriff des relativen Inneren anhand geeigneter Beispiele polyedrischer konvexer Kegel in  $\mathbb{R}^n$  für  $n \leq 3$ .



**Beispiel 2.4.3.** Das relative Innere des positiven Orthanten  $\delta^n = \text{Pos}(e_1, \dots, e_n)$  in  $\mathbb{K}^n$  besteht genau aus den strikten Positivkombinationen über  $(e_1, \dots, e_n)$ :

$$(\delta^n)^\circ = \{\lambda_1 e_1 + \dots + \lambda_n e_n; \lambda_1, \dots, \lambda_n \in \mathbb{K}_{>0}\} = \mathbb{K}_{>0}^n.$$

**Satz 2.4.4.** Es seien  $V$  ein  $\mathbb{K}$ -Vektorraum und  $\sigma \subseteq V$  ein polyedrischer konvexer Kegel. Dann ist  $\sigma$  die disjunkte Vereinigung über die relativen Inneren seiner Seiten:

$$\sigma = \bigsqcup_{\tau \preceq \sigma} \tau^\circ.$$

*Beweis.* Zunächst sei vermerkt, dass jede Seite  $\tau \preceq \sigma$  gemäß Satz 2.3.6 ein polyedrischer konvexer Kegel ist und  $\tau^\circ$  somit definiert ist. Wir zeigen, dass es zu jedem  $v \in \sigma$  ein  $\varrho \preceq \sigma$  gibt mit  $v \in \varrho^\circ$ . Satz 2.3.11 (ii) liefert

$$v \in \varrho := \bigcap_{\substack{\tau \preceq \sigma, \\ v \in \tau}} \tau \preceq \sigma.$$

Wir behaupten  $v \in \varrho^\circ$ . Andernfalls hätten wir  $v \in \varrho_0 \prec \varrho$ ; siehe Definition 2.4.1. Satz 2.3.11 (i) liefert  $\varrho_0 \preceq \sigma$ , und nach Definition von  $\varrho$  gilt  $\varrho \preceq \varrho_0$ . Das impliziert  $\varrho \subseteq \varrho_0 \subsetneq \varrho$ ; Widerspruch.

Wir zeigen, dass für je zwei Seiten  $\tau, \varrho \preceq \sigma$  mit  $\tau \neq \varrho$  die relativen Inneren  $\tau^\circ$  und  $\varrho^\circ$  disjunkt sind. Dazu betrachten wir den Durchschnitt  $\tau \cap \varrho$ . Nach Satz 2.3.11 (ii) ist dies eine Seite von  $\varrho$  und  $\tau$ . Nehmen wir an, es gelte  $\tau^\circ \cap \varrho^\circ \neq \emptyset$ . Dann enthält  $\varrho \cap \tau$  Punkte aus den relativen Inneren von  $\varrho$  und  $\tau$  und wäre somit weder eine echte Seite von  $\varrho$  noch von  $\tau$ . Es folgt  $\varrho = \varrho \cap \tau = \tau$ ; Widerspruch.  $\square$

**Satz 2.4.5.** Es seien  $V$  ein  $\mathbb{K}$ -Vektorraum,  $\sigma \subseteq V$  ein polyedrischer konvexer Kegel und  $v \in \sigma$ . Dann sind folgende Aussagen äquivalent:

- (i) Es gilt  $v \in \sigma^\circ$ .
- (ii) Es gilt  $u(v) > 0$  für alle  $u \in \sigma^\vee \setminus \sigma^\perp$ .
- (iii) Es gilt  $\sigma^\perp = \sigma^\vee \cap v^\perp$ .

*Beweis.* Zu “(i) $\Rightarrow$ (ii)”. Offensichtlich gilt  $u(v) \geq 0$  für alle  $u \in \sigma^\vee \setminus \sigma^\perp$ . Nehmen wir an, es gelte  $u(v) = 0$  für ein  $u \in \sigma^\vee \setminus \sigma^\perp$ . Wegen  $u \notin \sigma^\perp$  ist  $\tau := u^\perp \cap \sigma$  eine echte Seite von  $\sigma$ . Wegen  $u(v) = 0$  haben wir  $v \in \tau$ ; Widerspruch zu  $v \in \sigma^\circ$ .

Wir zeigen “(ii) $\Rightarrow$ (iii)”. Offensichtlich gilt  $\sigma^\perp \subseteq \sigma^\vee$ , und wegen  $v \in \sigma$  haben wir  $\sigma^\perp \subseteq v^\perp$ . Somit gilt  $\sigma^\perp \subseteq \sigma^\vee \cap v^\perp$ . Zum Nachweis der umgekehrten Inklusion nehmen wir an, es existiere ein  $u \in \sigma^\vee \cap v^\perp$  mit  $u \notin \sigma^\perp$ . Dann haben wir  $u(v) = 0$  und  $u \in \sigma^\vee \setminus \sigma^\perp$ ; Widerspruch zu (ii).

Für den Nachweis von “(iii) $\Rightarrow$ (i)” nehmen wir an, es gelte  $v \notin \sigma^\circ$ . Dann gibt es eine echte Seite  $\tau \prec \sigma$  mit  $v \in \tau$ . Es sei  $u \in \sigma^\vee$  eine ausschneidende Linearform für  $\tau$ . Dann gilt  $u(v) = 0$  und somit  $u \in v^\perp$ . Wegen  $\tau \prec \sigma$  haben wir  $u \notin \sigma^\perp$ . Widerspruch zu  $\sigma^\perp = \sigma^\vee \cap v^\perp$ .  $\square$

**Folgerung 2.4.6.** *Es seien  $V$  ein  $\mathbb{K}$ -Vektorraum,  $\sigma \subseteq V$  ein polyedrischer konvexer Kegel und  $u \in \sigma^\vee$ . Gilt  $u(v) = 0$  für ein  $v \in \sigma^\circ$ , so gilt  $u|_\sigma = 0$ .*

**Folgerung 2.4.7.** *Es seien  $V$  ein  $\mathbb{K}$ -Vektorraum,  $\sigma \subseteq V$  ein polyedrischer konvexer Kegel. Gilt  $0 \in \sigma^\circ$ , so ist  $\sigma \subseteq V$  ein Untervektorraum.*

*Beweis.* Satz 2.4.5 liefert  $\sigma^\perp = \sigma^\vee \cap 0^\perp = \sigma^\vee$ . Somit ist  $\sigma = \sigma^{\vee\vee} = \sigma^{\perp\vee} = \sigma^{\perp\perp}$  ein Untervektorraum von  $V$ ; siehe Satz 2.1.17 und Bemerkung 2.3.9.  $\square$

**Satz 2.4.8.** *Es seien  $V$  ein  $\mathbb{K}$ -Vektorraum und  $\varrho, \sigma \subseteq V$  polyedrische konvexe Kegel mit  $\varrho \subseteq \sigma$ . Dann gibt es eine eindeutig bestimmte minimale Seite  $\tau \preceq \sigma$  mit  $\varrho \subseteq \tau$ . Diese Seite erfüllt zudem  $\varrho^\circ \subseteq \tau^\circ$ .*

*Beweis.* Gemäß Satz 2.3.11 (ii) erhalten wir die eindeutig bestimmte minimale Seite  $\tau \preceq \sigma$  mit  $\varrho \subseteq \tau$  durch

$$\tau := \bigcap_{\substack{\sigma' \preceq \sigma, \\ \varrho \subseteq \sigma'}} \sigma' \preceq \sigma.$$

Es sei  $v \in \varrho^\circ$ . Nehmen wir an, es gelte  $v \notin \tau^\circ$ . Dann haben wir  $v \in \tau_0$  mit einer echten Seite  $\tau_0 \prec \tau$ . Ist  $u \in \tau^\vee$  eine ausschneidende Linearform für  $\tau_0$ , so gilt  $u \in \varrho^\vee$  und  $u(v) = 0$ . Folgerung 2.4.6 liefert  $u|_\varrho = 0$ . Das impliziert  $\varrho \subseteq \tau_0$ ; Widerspruch zur Minimalität von  $\tau$ .  $\square$

**Satz 2.4.9.** *Es seien  $V$  ein  $\mathbb{K}$ -Vektorraum und  $\sigma = \text{Pos}(v_1, \dots, v_r)$  ein polyedrischer konvexer Kegel in  $V$ . Dann besteht das relative Innere von  $\sigma$  aus den strikten Positivkombinationen über  $v_1, \dots, v_r$ :*

$$\sigma^\circ = \{\lambda_1 v_1 + \dots + \lambda_r v_r; \lambda_1, \dots, \lambda_r \in \mathbb{K}_{>0}\}.$$

*Beweis.* Zu “ $\supseteq$ ”. Es sei  $v = \lambda_1 v_1 + \dots + \lambda_r v_r$  eine strikte Positivkombination. Für jede Linearform  $u \in \sigma^\vee \setminus \sigma^\perp$  haben wir

$$u(v) = \lambda_1 u(v_1) + \dots + \lambda_r u(v_r).$$

Wegen  $u \notin \sigma^\perp$  gibt es dabei mindestens ein  $i$  mit  $u(v_i) > 0$ . Das impliziert bereits  $u(v) > 0$ . Satz 2.4.5 liefert  $v \in \sigma^\circ$ .

Zu “ $\subseteq$ ”. Es sei  $v \in \sigma^\circ$ . Wir betrachten alle Darstellungen von  $v$  als (nicht notwendigerweise strikte) Positivkombination über  $v_1, \dots, v_r$ . Diese sind von der Gestalt

$$v = v(\lambda) := \lambda_1 v_1 + \dots + \lambda_r v_r, \quad \lambda = (\lambda_1, \dots, \lambda_r) \in \mathbb{K}_{\geq 0}^r.$$

*Fall 1.* Für jedes  $i = 1, \dots, r$  finden wir eine Darstellung  $v = v(\lambda)$  mit  $\lambda_i \neq 0$ . Aufsummieren dieser Darstellungen liefert das skalare Vielfache  $rv$  als strikte Positivkombination über  $v_1, \dots, v_r$ . Folglich ist auch  $v$  eine strikte Positivkombination über  $v_1, \dots, v_r$ .

*Fall 2.* Es gibt Indizes  $i$  mit  $\lambda_i = 0$  in jeder Darstellung  $v = v(\lambda)$ . Durch Umnummern erreichen wir, dass  $i = 1, \dots, k$  genau diese Indizes sind. Wir zeigen, dass Fall 2 nicht eintritt. Zunächst erhalten wir für den Vektor  $v \in \sigma^\circ$  eine Darstellung

$$v = v(\lambda) = \lambda_{k+1}v_{k+1} + \dots + \lambda_r v_r, \quad \lambda_{k+1}, \dots, \lambda_r \in \mathbb{K}_{>0}.$$

Es seien  $u_1, \dots, u_s \in \sigma^\vee$  Linearformen mit  $\sigma = \text{POrt}(u_1, \dots, u_s)$ . Wir betrachten den Vektor  $v' := v_1 + \dots + v_k \in \sigma$  und wählen ein  $\beta \in \mathbb{K}_{>0}$ , sodass

$$\beta \leq \frac{u_j(v)}{u_j(v')}, \quad \text{für alle } j = 1, \dots, s \text{ mit } u_j(v) > 0, u_j(v') > 0.$$

Weiter sei  $v'' := v - \beta v'$ . Wir zeigen  $v'' \in \sigma$ , indem wir  $u_j(v'') \geq 0$  verifizieren für  $j = 1, \dots, s$ . Dafür vermerken wir zunächst

$$u_j(v) \geq 0, \quad u_j(v') \geq 0, \quad u_j(v'') = u_j(v) - \beta u_j(v'), \quad j = 1, \dots, s.$$

Gilt  $u_j(v) = 0$ , so gilt  $u_j(v') = 0$  gemäß Folgerung 2.4.6 und somit  $u_j(v'') = 0$ . Für  $u_j(v') = 0$  hat man  $u_j(v'') = u_j(v) \geq 0$ . Sind  $u_j(v)$  und  $u_j(v')$  beide positiv, so erhalten wir  $u_j(v'') \geq 0$  nach Wahl von  $\beta$ .

Schreibt man nun  $v'' = \lambda_1'' v_1 + \dots + \lambda_r'' v_r$  als Positivkombination und setzt dies zusammen mit  $v' = v_1 + \dots + v_k$  in die Gleichung

$$v = \beta v' + v''$$

ein, so erhält man  $v$  als eine Positivkombination über  $v_1, \dots, v_r$ , bei der keiner der ersten  $k$  Koeffizienten verschwindet; Widerspruch.  $\square$

**Folgerung 2.4.10.** *Es seien  $V$  ein  $\mathbb{K}$ -Vektorraum und  $\sigma$  ein polyedrischer konvexer Kegel in  $V$ . Dann ist das relative Innere  $\sigma^\circ \subseteq \sigma$  nicht leer.*



**2.5. Spitze Kegel.**

**Definition 2.5.1.** Es sei  $V$  ein  $\mathbb{K}$ -Vektorraum. Ein polyedrischer konvexer Kegel  $\sigma \subseteq V$  heißt *spitz*, falls er keine Gerade von  $V$  enthält.

**Beispiel 2.5.2.** Der positive Orthant  $\delta^n = \text{Pos}(e_1, \dots, e_n) \subseteq \mathbb{K}^n$  ist ein spitzer polyedrischer konvexer Kegel.

**Bemerkung 2.5.3.** Es seien  $V$  ein  $\mathbb{K}$ -Vektorraum und  $\sigma \subseteq V$  ein polyedrischer konvexer Kegel. Ist  $\sigma$  spitz, so ist auch jede Seite von  $\sigma$  spitz.

**Satz 2.5.4.** *Es seien  $V$  ein  $\mathbb{K}$ -Vektorraum und  $\sigma \subseteq V$  ein spitzer polyedrischer konvexer Kegel. Gilt*

$$\lambda_1 v_1 + \dots + \lambda_r v_r = 0$$

*für  $\lambda_1, \dots, \lambda_r \in \mathbb{K}_{\geq 0}$  und Vektoren  $v_1, \dots, v_r \in \sigma$ , so gilt  $\lambda_i = 0$  oder  $v_i = 0$  für jedes  $i = 1, \dots, r$ .*

*Beweis.* Nehmen wir an, in der annullierenden Positivkombination hätten wir  $\lambda_i \neq 0$  und  $v_i \neq 0$  für ein  $i$ . Dann erhalten wir

$$-v_i = \sum_{j \neq i} \frac{\lambda_j}{\lambda_i} v_j \in \sigma.$$

Somit ist auch die Gerade  $G = \text{Lin}(v_i) = \text{Pos}(v_i, -v_i)$  in  $\sigma$  enthalten. Widerspruch zu  $\sigma$  spitz.  $\square$

**Bemerkung 2.5.5.** Es sei  $V$  ein  $\mathbb{K}$ -Vektorraum. Dann ist für jedes  $0 \neq v \in V$  der von  $v$  erzeugte Strahl

$$\varrho = \text{Pos}(v) \subseteq V$$

ein spitzer polyedrischer konvexer Kegel. Weiter ist jeder eindimensionale spitzer polyedrische konvexe Kegel in  $V$  ein Strahl.

**Definition 2.5.6.** Es seien  $V$  ein  $\mathbb{K}$ -Vektorraum und  $\sigma \subseteq V$  ein spitzer polyedrischer konvexer Kegel. Ein *Extremalstrahl* von  $\sigma$  ist eine eindimensionale Seite  $\varrho \preccurlyeq \sigma$ .

**Satz 2.5.7.** *Es seien  $V$  ein  $\mathbb{K}$ -Vektorraum,  $\sigma \subseteq V$  ein spitzer polyedrischer konvexer Kegel,  $0 \neq v \in \sigma$  und  $\varrho := \text{Pos}(v)$ . Dann sind folgende Aussagen äquivalent:*

- (i)  $\varrho$  ist ein Extremalstrahl von  $\sigma$ .
- (ii) Gilt  $v = v_1 + \dots + v_r$  mit  $v_i \in \sigma$ , so gilt  $v_1, \dots, v_r \in \varrho$ .

*Beweis.* Zu “(i) $\Rightarrow$ (ii)”. Es sei  $u \in \sigma^\vee$  eine ausschneidende Linearform für  $\varrho$ . Ist eine Darstellung  $v = v_1 + \dots + v_r$  mit  $v_i \in \sigma$  gegeben, so haben wir

$$u(v_1) + \dots + u(v_r) = u(v) = 0.$$

Das impliziert  $u(v_i) = 0$  und somit  $v_i \in \varrho$  für alle  $i$ . Wir zeigen “(ii) $\Rightarrow$ (i)”. Es sei  $\tau \preccurlyeq \sigma$  minimal mit  $\varrho \subseteq \tau$ . Dabei gilt  $\tau = \text{Pos}(v_1, \dots, v_r)$  mit  $v_1, \dots, v_r \in \tau$  und

$$v \in \varrho^\circ \subseteq \tau^\circ$$

gemäß Sätzen 2.3.6 und 2.4.8. Satz 2.4.9 liefert  $v = \lambda_1 v_1 + \dots + \lambda_r v_r$  mit  $\lambda_i \in \mathbb{K}_{>0}$ . Es folgt  $\lambda_i v_i \in \varrho$  für  $i = 1, \dots, r$  und somit  $\varrho = \tau \preccurlyeq \sigma$ .  $\square$

**Folgerung 2.5.8.** *Es seien  $V$  ein  $\mathbb{K}$ -Vektorraum,  $\sigma = \text{Pos}(v_1, \dots, v_r)$  ein spitzer polyedrischer konvexer Kegel in  $V$  und  $\varrho_i := \text{Pos}(v_i)$ , wobei  $i = 1, \dots, r$ .*

- (i) *Gilt  $v_i \notin \text{Pos}(v_j; j \neq i)$  für ein  $1 \leq i \leq r$ , so ist  $\varrho_i$  ein Extremalstrahl des Kegels  $\sigma$ .*

- (ii) Gilt  $v_i \notin \text{Pos}(v_j; j \neq i)$  für alle  $i = 1, \dots, r$ , so gilt  $\varrho_i \neq \varrho_j$  für  $i \neq j$ , und  $\varrho_1, \dots, \varrho_r$  sind genau die Extremalstrahlen von  $\sigma$ .

*Beweis.* Zu (i). Die Voraussetzung impliziert insbesondere  $v_i \neq 0$ . Wir weisen Eigenschaft 2.5.7 (ii) für  $\varrho_i$  nach. Dazu sei eine Darstellung  $v_i = v'_1 + \dots + v'_s$  mit  $v'_k \in \sigma$  gegeben. Schreibt man in dieser Gleichung jedes  $v'_k$  als Positivkombination über  $v_1, \dots, v_r$ , so erhält man damit

$$v_i = \lambda_i v_i + \sum_{j \neq i} \lambda_j v_j, \quad \lambda_1, \dots, \lambda_r \in \mathbb{K}_{\geq 0},$$

wobei  $\lambda_i, \lambda_j$  die Summen der Koeffizienten der  $v_i, v_j$  aus den Darstellungen der  $v'_k$  sind. Wegen  $v_i \notin \text{Pos}(v_j; j \neq i)$  haben wir  $\lambda_i \geq 1$ . Wir addieren  $-v_i$  zu jeder Seite der obigen Gleichung, wenden Satz 2.5.4 an und erhalten  $\lambda_i = 1$  sowie  $\lambda_j v_j = 0$  für alle  $j \neq i$ . Das impliziert  $v'_1, \dots, v'_s \in \varrho_i$ .

Zu (ii). Nach (i) ist jedes  $\varrho_i$  ein Extremalstrahl von  $\sigma$ . Offensichtlich sind  $\varrho_1, \dots, \varrho_r$  paarweise verschieden, und Satz 2.5.7 garantiert, dass  $\sigma$  keine weiteren Extremalstrahlen besitzt.  $\square$

**Folgerung 2.5.9.** *Es seien  $V$  ein  $\mathbb{K}$ -Vektorraum,  $\sigma$  ein spitzer polyedrischer konvexer Kegel in  $V$  und  $\varrho_1, \dots, \varrho_r$  seine Extremalstrahlen. Dann gilt  $\sigma = \varrho_1 + \dots + \varrho_r$ .*

*Beweis.* Es sei  $\sigma = \text{Pos}(v_1, \dots, v_r)$  mit  $v_1, \dots, v_r \in V$ . Wir dürfen dabei annehmen, dass kein  $v_i$  Positivkombination über die übrigen  $v_j$  ist. Folgerung 2.5.8 liefert dann die Behauptung.  $\square$

**Lemma 2.5.10.** *Es sei  $V$  ein  $\mathbb{K}$ -Vektorraum. Enthält ein polyedrischer konvexer Kegel  $\sigma \subseteq V$  einen Untervektorraum  $V_0 \subseteq V$ , so ist  $V_0$  in jeder Seite von  $\sigma$  enthalten.*

*Beweis.* Es sei  $v \in V_0$ . Dann haben wir  $u(v) \geq 0$  sowie  $-u(v) = u(-v) \geq 0$  und somit  $u(v) = 0$  für alle  $u \in \sigma^\vee$ . Folglich ist  $v$  in jeder Seite von  $\sigma$  enthalten.  $\square$

**Satz 2.5.11.** *Es seien  $V$  ein  $\mathbb{K}$ -Vektorraum und  $\sigma \subseteq V$  ein polyedrischer konvexer Kegel mit minimaler Seite  $\sigma_{\min} \preccurlyeq \sigma$ . Dann gilt*

$$\sigma = \sigma_{\min} \iff \sigma = \sigma^\circ \iff \sigma \subseteq_{\text{lin}} V.$$

*Beweis.* Es gilt genau dann  $\sigma = \sigma_{\min}$ , wenn  $\sigma$  keine echten Seiten besitzt. Letzteres ist gemäß Definition des relativen Inneren äquivalent zu  $\sigma = \sigma^\circ$ . Gilt  $\sigma = \sigma^\circ$ , so haben wir  $0 \in \sigma^\circ$  und Folgerung 2.4.7 garantiert  $\sigma \subseteq_{\text{lin}} V$ . Gilt  $\sigma \subseteq_{\text{lin}} V$ , so haben wir  $u(v) \geq 0$  sowie  $-u(v) = u(-v) \geq 0$  und somit  $u(v) = 0$  für alle  $u \in \sigma^\vee$  und  $v \in \sigma$ . Das bedeutet  $\sigma^\vee = \sigma^\perp$ . Satz 2.4.5 liefert  $\sigma = \sigma^\circ$ .  $\square$

**Satz 2.5.12.** *Es seien  $V$  ein  $\mathbb{K}$ -Vektorraum und  $\sigma \subseteq V$  ein polyedrischer konvexer Kegel. Dann ist  $\sigma_{\min} \preccurlyeq \sigma$  der maximale in  $\sigma$  enthaltene Untervektorraum von  $V$ .*

*Beweis.* Die minimale Seite  $\tau := \sigma_{\min} \preccurlyeq \sigma$  besitzt keine echten Seiten. Das bedeutet  $\tau = \tau_{\min}$ . Nach Satz 2.5.11 ist  $\sigma_{\min} = \tau$  ein Untervektorraum von  $V$ . Die Maximalität ergibt sich direkt aus Lemma 2.5.10.  $\square$

**Satz 2.5.13.** *Es seien  $V$  ein  $\mathbb{K}$ -Vektorraum,  $\sigma \subseteq V$  ein polyedrischer konvexer Kegel,  $V_0 := \sigma_{\min}$  seine minimale Seite,  $\tilde{V} := V/V_0$  und  $P: V \rightarrow V/V_0$  die Projektion.*

- (i) *Das Bild  $\tilde{\sigma} := P(\sigma)$  ist ein spitzer polyedrischer konvexer Kegel in  $\tilde{V}$ , und es gilt  $P^{-1}(\tilde{\sigma}) = \sigma$ .*
- (ii) *Man hat zueinander inverse ordnungserhaltende Bijektionen der jeweiligen Seitenverbände:*

$$\begin{aligned} \text{Seiten}(\sigma) &\longleftrightarrow \text{Seiten}(\tilde{\sigma}) \\ \tau &\mapsto P(\tau), \\ P^{-1}(\tilde{\tau}) &\leftarrow \tilde{\tau}. \end{aligned}$$

- (iii) *Es gibt einen spitzen Kegel  $\sigma' \subseteq V$  mit  $\sigma = \sigma_{\min} + \sigma'$ , sodass  $P$  eine Injektion  $\text{Lin}(\sigma') \rightarrow \tilde{V}$  definiert.*

*Beweis.* Zu (i). Als Bild des endlich erzeugten konvexen Kegels  $\sigma \subseteq V$  unter der linearen Abbildung  $P$  ist  $\tilde{\sigma} \subseteq \tilde{V}$  gemäß Bemerkung 2.1.4 endlich erzeugt und somit polyedrisch. Weiter haben wir  $v+V_0 \subseteq \sigma$  für jedes  $v \in \sigma$ . Das impliziert  $P^{-1}(\tilde{\sigma}) = \sigma$ . Wir zeigen, dass  $\tilde{\sigma}$  spitz ist. Andernfalls gibt es eine Gerade  $\tilde{G} \subseteq \tilde{\sigma}$ . Das Urbild  $P^{-1}(\tilde{G}) \subseteq \sigma$  ist dann ein Untervektorraum von  $V$  mit  $V_0 \subsetneq P^{-1}(\tilde{G})$ ; Widerspruch zu Satz 2.5.12.

Zu (ii). Wir zeigen zunächst, dass die beiden Zuordnungen wohldefiniert sind. Wir beginnen mit  $\tilde{\tau} \mapsto P^{-1}(\tilde{\tau})$ . Es sei  $\tilde{u}$  eine ausschneidende Linearform für  $\tilde{\tau} \preceq \tilde{\sigma}$ . Mit  $u := \tilde{u} \circ P$  haben wir dann  $u \in \sigma^\vee$  und

$$P^{-1}(\tilde{\tau}) = P^{-1}(\tilde{\sigma} \cap \tilde{u}^\perp) = P^{-1}(\tilde{\sigma}) \cap P^{-1}(\tilde{u}^\perp) = \sigma \cap u^\perp \preceq \sigma.$$

Es sei nun  $\tau \preceq \sigma$  mit ausschneidender Linearform  $u$  gegeben. Wegen  $u|_{V_0} = 0$  liefert der Homomorphiesatz ein  $\tilde{u} \in \text{LF}(\tilde{V})$  mit  $u = \tilde{u} \circ P$ . Mit der Surjektivität von  $P$  und  $V_0 \subseteq \tau, \sigma$  erhalten wir  $\tilde{u}|_{\tilde{\sigma}} \geq 0$  und  $\tilde{u}^\perp = P(P^{-1}(\tilde{u}^\perp))$  sowie

$$P(\tau) = P(\sigma \cap u^\perp) = \tilde{\sigma} \cap P(P^{-1}(\tilde{u}^\perp)) = \tilde{\sigma} \cap \tilde{u}^\perp \preceq \tilde{\sigma}.$$

Wir zeigen, dass die Abbildungen  $\tau \mapsto P(\tau)$  und  $\tilde{\tau} \mapsto P^{-1}(\tilde{\tau})$  zueinander invers sind. Die Surjektivität von  $P$  impliziert  $P(P^{-1}(\tilde{\tau})) = \tilde{\tau}$  für jedes  $\tilde{\tau} \preceq \tilde{\sigma}$ . Ist  $\tau \preceq \sigma$  gegeben, so haben wir  $v + V_0 \subseteq \tau$  für jedes  $v \in \tau$ , und es folgt  $P^{-1}(P(\tau)) = \tau$ .

Zu (iii). Wir wählen eine direkte Zerlegung  $V = V_0 \oplus V'$ . Dann ist die Einschränkung  $P|_{V'}: V' \rightarrow \tilde{V}$  ein Isomorphismus. Somit ist  $\sigma' := (P|_{V'})^{-1}(\tilde{\sigma}) \subseteq V'$  ein spitzer polyedrischer konvexer Kegel mit  $P(\sigma') = \tilde{\sigma}$ , wir haben  $\sigma = P^{-1}(\tilde{\sigma}) = \sigma_{\min} + \sigma'$ , und die Einschränkung von  $P$  auf  $\text{Lin}(\sigma')$  ist injektiv.  $\square$



## 2.6. Die Seiten des Dualkegels.

**Satz 2.6.1.** *Es seien  $V$  ein  $\mathbb{K}$ -Vektorraum,  $U$  sein Dualraum,  $\sigma \subseteq V$  ein polyedrischer konvexer Kegel und  $\omega := \sigma^\vee \subseteq U$ . Dann hat man Bijektionen*

$$\begin{aligned} \text{Seiten}(\sigma) &\longleftrightarrow \text{Seiten}(\omega) \\ \tau &\mapsto \tau^* := \tau^\perp \cap \omega, \\ \eta^\perp \cap \sigma &=: \eta^* \longleftarrow \eta. \end{aligned}$$

*Diese Abbildungen sind weiter zueinander invers und ordnungsumkehrend, d.h., für alle  $\varrho, \tau \preceq \sigma$  und alle  $\zeta, \eta \preceq \omega$  gilt*

$$\tau^{**} = \tau, \quad \eta^{**} = \eta, \quad \varrho \preceq \tau \Rightarrow \varrho^* \succcurlyeq \tau^*, \quad \zeta \preceq \eta \Rightarrow \zeta^* \succcurlyeq \eta^*.$$

*Es gilt  $\omega^* = \sigma \cap -\sigma \subseteq_{\text{lin}} V$ , und  $\omega^*$  ist die eindeutig bestimmte minimale Seite von  $\sigma$ . Weiter gilt für jedes  $\tau \preceq \sigma$  die Dimensionsformel*

$$\dim(\tau) + \dim(\tau^*) = \dim(V).$$

*Beweis.* Zunächst ist zu zeigen, dass  $\tau^* = \tau^\perp \cap \omega$  eine Seite von  $\omega$  ist. Nach Folgerung 2.4.10 gibt es ein Element  $v \in \tau^\circ$ . Satz 2.4.5 liefert  $\tau^\perp = \tau^\vee \cap v^\perp$ , und wegen  $\tau \subseteq \sigma$  haben wir  $\omega \subseteq \tau^\vee$ . Damit ergibt sich

$$\tau^* = (\tau^\vee \cap v^\perp) \cap \omega = v^\perp \cap \omega \preceq \omega.$$

Somit ist die Abbildung  $\tau \mapsto \tau^*$  wohldefiniert. Wir zeigen, dass sie zudem surjektiv ist. Dazu sei  $\eta \preceq \omega$  gegeben. Dann gibt es ein  $v \in \sigma$  mit  $\eta = v^\perp \cap \omega$ . Nach Satz 2.4.4 gibt es eine Seite  $\tau \preceq \sigma$  mit  $v \in \tau^\circ$ . Mit Satz 2.4.5 folgt

$$\eta = v^\perp \cap \omega = v^\perp \cap \tau^\vee \cap \omega = \tau^\perp \cap \omega = \tau^*.$$

Das beweist die Surjektivität der Abbildung  $\tau \mapsto \tau^*$ . Wegen  $\sigma = \omega^\vee$  erhalten wir mit denselben Argumenten auch die Wohldefiniertheit und die Surjektivität von  $\eta \mapsto \eta^*$ .

Wir zeigen nun, dass  $\tau \mapsto \tau^*$  ordnungsumkehrend ist. Dazu seien  $\varrho \preceq \tau \preceq \sigma$  gegeben. Mit Lemma 2.3.7 erhalten wir

$$\varrho \preceq \tau \Rightarrow \varrho^\perp \supseteq \tau^\perp \Rightarrow \varrho^\perp \cap \omega \supseteq \tau^\perp \cap \omega \Rightarrow \varrho^* \supseteq \tau^* \Rightarrow \varrho^* \succcurlyeq \tau^*$$

Analog sehen wir, dass  $\eta \mapsto \eta^*$  ordnungsumkehrend ist. Wir zeigen, dass  $\tau = \tau^{**}$  für jedes  $\tau \preceq \sigma$  gilt. Mit Bemerkung 2.3.9 und Satz 2.3.10 (i) erhalten wir zunächst

$$\tau^{**} = (\tau^*)^\perp \cap \sigma = (\omega \cap \tau^\perp)^\perp \cap \sigma \supseteq \tau^{\perp\perp} \cap \sigma = \text{Lin}(\tau) \cap \sigma = \tau.$$

Mit Lemma 2.3.7 folgt  $\tau^{**} \succcurlyeq \tau$ . Um  $\tau \succcurlyeq \tau^{**}$  einzusehen, wählen wir ein  $\eta \preceq \omega$  mit  $\tau = \eta^*$ . Dann haben wir  $\eta \preceq \eta^{**}$ . Damit folgt

$$\tau = \eta^* \succcurlyeq \eta^{***} = \tau^{**}.$$

Ebenso sieht man  $\eta^{**} = \eta$  für jedes  $\eta \preceq \omega$ . Folglich sind die beiden Abbildungen  $\tau \mapsto \tau^*$  und  $\eta \mapsto \eta^*$  invers zueinander.

Da  $\omega \preceq \omega$  maximal und  $\omega \mapsto \omega^*$  ordnungsumkehrend ist, muss  $\omega^* \preceq \sigma$  minimal sein. Satz 2.5.12 liefert  $\omega^* \subseteq_{\text{lin}} V$ . Weiter haben wir

$$\omega^* = \omega^\perp \cap \sigma = \omega^\perp \cap \omega^\vee = \omega^\perp = \sigma \cap -\sigma.$$

Die Dimensionsformel machen wir uns schrittweise klar. Zunächst betrachten wir die maximale Seite  $\sigma \preceq \sigma$ . Mit Bemerkung 2.3.9 erhalten wir hier

$$\sigma^* = \sigma^\perp \cap \omega = \sigma^\perp = \text{Lin}(\sigma)^\perp$$

Ist  $B = (v_1, \dots, v_n)$  eine Basis für  $V$  mit  $\text{Lin}(v_1, \dots, v_k) = \text{Lin}(\sigma)$ , so bilden die letzten  $n - k$  Vektoren der dualen Basis  $B^*$  von  $U$  eine Basis für  $\text{Lin}(\sigma)^\perp$ . Es folgt

$$\dim(\sigma) + \dim(\sigma^*) = \dim(\text{Lin}(\sigma)) + \dim(\text{Lin}(\sigma)^\perp) = \dim(V).$$

Analog erhalten wir die Dimensionsformel für die minimale Seite  $\sigma \cap -\sigma$  von  $\sigma$ , denn in diesem Fall haben wir

$$\sigma \cap -\sigma = \omega^*, \quad (\sigma \cap -\sigma)^* = \omega.$$

Es sei nun  $\tau \preceq \sigma$  eine beliebige Seite. Wir betrachten den polyedrischen konvexen Kegel  $\tilde{\sigma} := \text{Lin}(\tau) + \sigma$  in  $V$ . Der zugehörige Dualkegel ist gemäß Satz 2.3.8 und Bemerkung 2.3.9 gegeben durch

$$\tilde{\sigma}^\vee = \tau^\perp \cap \omega = \tau^*.$$

Weiter ist  $\text{Lin}(\tau)$  eine Seite von  $\tilde{\sigma}$ , da jede ausschneidende Linearform  $u \in \sigma^\vee$  für  $\tau$  auch ausschneidende Linearform für  $\text{Lin}(\tau) \subseteq \tilde{\sigma}$  ist. Als Untervektorraum von  $V$  ist  $\text{Lin}(\tau)$  in jeder Seite von  $\tilde{\sigma}$  enthalten und ist somit die minimale Seite von  $\tilde{\sigma}$ . Die Dimensionsformel ergibt sich daher mit

$$\dim(\tau) + \dim(\tau^*) = \dim(\text{Lin}(\tau)) + \dim(\tilde{\sigma}^\vee) = \dim(V).$$

□

**Erinnerung 2.6.2.** Es sei  $V$  ein  $\mathbb{K}$ -Vektorraum. Ein polyedrischer konvexer Kegel  $\sigma \subseteq V$  heißt *spitz*, falls er keine Gerade enthält, und man nennt ihn *volldimensional*, wenn  $\dim(\sigma) = \dim(V)$  gilt.

**Satz 2.6.3.** *Es seien  $V$  ein  $\mathbb{K}$ -Vektorraum,  $U$  sein Dualraum und  $\sigma \subseteq V$  ein polyedrischer konvexer Kegel. Dann sind folgende Aussagen äquivalent:*

- (i)  $\sigma$  ist spitz.
- (ii) Es gilt  $\sigma \cap -\sigma = \{0\}$ .
- (iii) Es gilt  $\sigma^\vee - \sigma^\vee = U$ .
- (iv)  $\sigma^\vee$  ist volldimensional.

*Beweis.* Zu “(i) $\Rightarrow$ (ii)”. Nach Satz 2.6.1 haben wir  $\sigma_{\min} = \sigma \cap -\sigma \subseteq_{\text{lin}} V$  für die minimale Seite von  $\sigma$ . Da  $\sigma$  keine Gerade enthält, muss  $\sigma \cap -\sigma = \{0\}$  gelten. Aussage (iii) ergibt sich durch Dualisieren von (ii); siehe Satz 2.3.8. Die Implikation “(iii) $\Rightarrow$ (iv)” erhalten wir mit  $\sigma^\vee - \sigma^\vee = \text{Lin}(\sigma^\vee)$ ; siehe Bemerkung 1.3.9.

Für den Nachweis von “(iv) $\Rightarrow$ (i)” nehmen wir an, dass  $\sigma$  eine Gerade  $\text{Lin}(v)$  enthält. Für jedes  $u \in \sigma^\vee$  haben wir dann  $u(v) \geq 0$  und  $u(-v) \geq 0$ . Es folgt  $u(v) = 0$  für alle  $u \in \sigma^\vee$  und somit  $u(v) = 0$  für alle  $u \in \text{Lin}(\sigma^\vee) = V^*$ . Das bedeutet  $v = 0$ ; Widerspruch zu  $\dim(\text{Lin}(v)) = 1$ . □

**Definition 2.6.4.** Es seien  $V$  ein  $\mathbb{K}$ -Vektorraum  $\sigma \subseteq V$  ein polyedrischer konvexer Kegel. Eine *Facette* von  $\sigma$  ist eine Seite  $\sigma_0 \prec \sigma$  der Dimension  $\dim(\sigma) - 1$ .

**Satz 2.6.5.** *Es seien  $V$  ein  $n$ -dimensionaler  $\mathbb{K}$ -Vektorraum und  $\sigma \subseteq V$  ein spitzer volldimensionaler polyedrischer konvexer Kegel.*

- (i) Für jedes  $k = 0, \dots, n$  besitzt  $\sigma$  Seiten der Dimension  $k$ .
- (ii) Jede echte Seite von  $\sigma$  ist Facette einer Seite von  $\sigma$ .
- (iii) Es gilt  $\sigma = \sigma^\circ \cup \sigma_1 \cup \dots \cup \sigma_m$  mit den Facetten  $\sigma_1, \dots, \sigma_m \prec \sigma$ .

*Beweis.* Für  $k = 0$  und  $k = n$  ist die Aussage klar. Nach Satz 2.6.3 ist  $\sigma^\vee$  ebenfalls spitz und volldimensional. Nach Folgerung 2.5.9 wird  $\sigma^\vee$  von seinen Extremalstrahlen erzeugt und besitzt daher eindimensionale Seiten. Satz 2.6.1 garantiert somit, dass  $\sigma$  Facetten besitzt. Jede Facette  $\tau \prec \sigma$  ist ihrerseits ein spitzer volldimensionaler Kegel in  $\text{Lin}(\tau)$  und besitzt, wie eben gesehen, ihrerseits Facetten  $\tau' \prec \tau$ . Jedes dieser  $\tau'$  ist eine  $(n - 2)$ -dimensionale Seite von  $\sigma$ . Iterieren wir diesen Prozess, so erhalten wir schließlich Aussage (i).

Für den Nachweis von (ii) sei  $\tau \prec \sigma$  eine  $k$ -dimensionale Seite. Nach Satz 2.6.1 ist  $\tau^* \preceq \sigma^\vee$  von der Dimension  $n - k > 0$  und besitzt somit eine Facette  $\eta \prec \tau^*$ . Die entsprechende Seite  $\eta^* \succ \tau$  ist dann eine  $(k + 1)$ -dimensionale Seite von  $\sigma$ .

Wir zeigen (iii). Es sei  $v \in \sigma$ . Gilt  $v \in \sigma^\circ$ , so ist nichts zu zeigen. Andernfalls gilt  $v \in \tau_0$  für eine echte Seite  $\tau_0 \prec \sigma$ . Nach (ii) ist  $\tau_0$  Facette einer Seite  $\tau_1 \preceq \sigma$ ; wir haben also  $v \in \tau_1$  und  $\dim(\tau_1) = \dim(\tau_0) + 1$ . Dieses Vorgehen iteriert man, bis man bei  $v \in \tau_k$  mit einer Facette  $\tau_k \prec \sigma$  landet.  $\square$



2.7. **Simpliziale Kegel.**

**Definition 2.7.1.** Es sei  $V$  ein  $\mathbb{K}$ -Vektorraum. Ein polyedrischer konvexer Kegel  $\sigma \subseteq V$  heißt *simplizial*, falls  $\sigma = \text{Pos}(v_1, \dots, v_r)$  mit einer linear unabhängigen Familie  $(v_1, \dots, v_r)$  in  $V$  gilt.

**Beispiel 2.7.2.** Der positive Orthant  $\delta^n = \text{Pos}(e_1, \dots, e_n) \subseteq \mathbb{K}^n$  ist ein simplizialer polyedrischer konvexer Kegel .

**Satz 2.7.3.** *Es seien  $V$  ein  $\mathbb{K}$ -Vektorraum und  $\sigma \subseteq V$  ein polyedrischer konvexer Kegel. Ist  $\sigma$  simplizial, so ist  $\sigma$  spitz.*

*Beweis.* Es sei  $\sigma = \text{Pos}(v_1, \dots, v_r)$  mit  $(v_1, \dots, v_r)$  linear unabhängig in  $V$ . Nehmen wir an, der Kegel  $\sigma$  sei nicht spitz. Dann enthält  $\sigma$  eine Gerade. Insbesondere gibt es ein  $0 \neq v \in \sigma$  mit  $-v \in \sigma$ . Wir wählen Darstellungen

$$v = \lambda_1^+ v_1 + \dots + \lambda_r^+ v_r, \quad -v = \lambda_1^- v_1 + \dots + \lambda_r^- v_r$$

mit  $\lambda_i^+, \lambda_i^- \in \mathbb{K}_{\geq 0}$  für  $i = 1, \dots, r$ . Wegen  $v \neq 0$  gilt mindestens einmal  $\lambda_i^+ > 0$ . Aufsummieren der beiden obigen Darstellungen liefert somit einen Widerspruch zur linearen Unabhängigkeit von  $(v_1, \dots, v_r)$ :

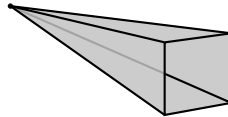
$$(\lambda_1^+ + \lambda_1^-)v_1 + \dots + (\lambda_r^+ + \lambda_r^-)v_r = 0.$$

□

**Bemerkung 2.7.4.** Jeder spitz polyedrische konvexe Kegel der Dimension höchstens 2 ist simplizial.



Die ersten nicht-simplizialen spitzen polyedrischen konvexen Kegel tauchen in der Dimension 3 auf.



**Bemerkung 2.7.5.** Es seien  $V$  ein  $\mathbb{K}$ -Vektorraum und  $(v_1, \dots, v_r)$  eine linear unabhängige Familie in  $V$ . Dann erhält man eine injektive lineare Abbildung

$$\varphi: \mathbb{K}^r \rightarrow V, \quad e_i \mapsto v_i.$$

Für den positiven Orthanten  $\delta^n \subseteq \mathbb{K}^n$  und den von  $v_1, \dots, v_r$  erzeugten simplizialen Kegel  $\sigma = \text{Pos}(v_1, \dots, v_r)$  gilt dabei  $\sigma = \varphi(\delta^n)$ .

**Satz 2.7.6.** *Es seien  $V$  ein  $\mathbb{K}$ -Vektorraum,  $(v_1, \dots, v_r)$  eine linear unabhängige Familie in  $V$  und  $\sigma = \text{Pos}(v_1, \dots, v_r)$  der davon erzeugte simpliziale Kegel.*

- (i) Für jedes  $I \subseteq \{1, \dots, r\}$  ist  $\sigma_I := \text{Pos}(v_i; i \in I)$  eine Seite von  $\sigma$ .
- (ii) Für jedes  $I \subseteq \{1, \dots, r\}$  haben wir  $\dim(\sigma_I) = |I|$ .
- (iii) Für jedes  $k = 0, \dots, n$  besitzt  $\sigma$  genau  $\binom{r}{k}$  Seiten der Dimension  $k$ .

Insbesondere ist  $\sigma = \text{Pos}(v_1, \dots, v_r)$  von der Dimension  $r$ , besitzt genau  $r$  Extre-  
malstrahlen und genau  $r$  Facetten.

*Beweis.* Der Basisergänzungssatz liefert uns eine Basis  $(v_1, \dots, v_r, v_{r+1}, \dots, v_n)$  für  $V$ . Es sei  $(v_1^*, \dots, v_n^*)$  die zugehörige duale Basis. Dann definiert

$$u_I := \varepsilon_1 v_1^* + \dots + \varepsilon_n v_n^*, \quad \varepsilon_i := \begin{cases} 0, & 1 \leq i \leq r, i \in I, \\ 1, & 1 \leq i \leq r, i \notin I, \\ 0, & r+1 \leq i \leq n \end{cases}$$

eine ausschneidende Linearform für  $\sigma_I$ . Das beweist Aussage (i). Die zweite Aussage ergibt sich aus der linearen Unabhängigkeit von  $(v_i; i \in I)$  und

$$\dim(\sigma_I) = \dim(\text{Lin}(\sigma_I)) = \dim(\text{Lin}(\text{Pos}(v_i; i \in I))) = \dim(\text{Lin}(v_i; i \in I)).$$

Zu (iii). Die Anzahl  $m(r, k)$  der  $k$ -elementigen Teilmengen  $I \subseteq \{1, \dots, r\}$  ist bekanntlich durch den entsprechenden Binomialkoeffizienten gegeben:

$$m(r, k) = \binom{r}{k}.$$

Wir müssen noch zeigen, dass  $\sigma_I \neq \sigma_J$  gilt für je zwei  $k$ -elementige Teilmengen  $I, J \subseteq \{1, \dots, r\}$  mit  $I \neq J$ . Zunächst haben wir einen Index  $j \in J$  mit

$$v_j \notin \{v_i; i \in I\}.$$

Die lineare Unabhängigkeit von  $(v_1, \dots, v_r)$  impliziert  $v_j \notin \text{Lin}(v_i; i \in I)$ . Es folgt  $v_j \notin \text{Pos}(v_i; i \in I)$  und somit  $\sigma_I \neq \sigma_J$ .  $\square$

**Satz 2.7.7.** *Es seien  $V$  ein  $n$ -dimensionaler  $\mathbb{K}$ -Vektorraum und  $\sigma \subseteq V$  ein polyedrischer konvexer Kegel. Dann sind folgende Aussagen äquivalent:*

- (i) *Der Kegel  $\sigma$  ist simplizial und volldimensional.*
- (ii) *Für jedes  $k = 0, \dots, n$  besitzt  $\sigma$  genau  $\binom{n}{k}$  Seiten der Dimension  $k$ .*
- (iii)  *$\sigma$  ist spitz, volldimensional und hat höchstens  $n$  Extremalstrahlen.*

*Beweis.* Gilt (i), so haben wir  $\sigma = \text{Pos}(v_1, \dots, v_r)$  mit einer linear unabhängigen Familie  $(v_1, \dots, v_r)$  in  $V$ . Da  $\sigma$  volldimensional ist, muss  $r = n$  gelten. Mit Satz 2.7.6 erhalten wir dann Eigenschaft (ii).

Gilt (ii), so besitzt  $\sigma$  eine nulldimensionale Seite  $\tau \preceq \sigma$ . Nach Lemma 2.5.10 ist jeder in  $\sigma$  enthaltene Untervektorraum  $V_0$  von  $V$  bereits in  $\tau = \{0\}$  enthalten. Insbesondere enthält  $\sigma$  keine Geraden und ist somit spitz. Weiter besitzt  $\sigma$  genau  $n$  eindimensionale Seiten  $\varrho_1, \dots, \varrho_n$ ; dies sind gerade die Extremalstrahlen von  $\sigma$ . Da  $\sigma$  eine  $n$ -dimensionale Seite besitzt, ist  $\sigma$  volldimensional. Damit ist Eigenschaft (iii) für  $\sigma$  etabliert.

Gilt (iii), so bezeichnen wir mit  $\varrho_1, \dots, \varrho_m$  die Extremalstrahlen von  $\sigma$ . Diese sind von der Form  $\varrho_i = \text{Pos}(v_i)$  mit  $v_i \in \sigma$ . Nach Folgerung 2.5.9 wird  $\sigma$  durch  $v_1, \dots, v_m$  erzeugt. Somit erhalten wir

$$\dim(\sigma) = \dim(\text{Pos}(v_1, \dots, v_m)) = \dim(\text{Lin}(v_1, \dots, v_m)) \leq m \leq n.$$

Da  $\sigma$  volldimensional ist, muss  $V = \text{Lin}(v_1, \dots, v_m)$  gelten. Als Erzeugendensystem der Länge  $m \leq n$  für den  $n$ -dimensionalen  $\mathbb{K}$ -Vektorraum  $V$  ist  $(v_1, \dots, v_m)$  linear unabhängig. Folglich ist  $\sigma$  simplizial.  $\square$

**Folgerung 2.7.8.** *Es seien  $V$  ein  $n$ -dimensionaler  $\mathbb{K}$ -Vektorraum und  $\sigma \subseteq V$  ein polyedrischer konvexer Kegel. Dann sind folgende Aussagen äquivalent:*

- (i) *Der Kegel  $\sigma$  ist simplizial und volldimensional.*
- (ii) *Der Dualkegel  $\sigma^\vee$  ist simplizial und volldimensional.*

*Beweis.* Die Äquivalenz von (i) und (ii) ergibt sich aus den Sätzen 2.6.1, 2.7.7 und der Binomialkoeffizientenidentität

$$\binom{n}{k} = \binom{n}{n-k}.$$

□

**Satz 2.7.9.** *Es sei  $V$  ein  $\mathbb{K}$ -Vektorraum,  $S \subseteq V$  eine Teilmenge und  $\sigma = \text{Pos}(S)$  der davon erzeugte konvexe Kegel in  $V$ . Dann ist jedes  $v \in \sigma$  eine Positivkombination über einer linear unabhängigen Familie  $(v_1, \dots, v_k)$  von Vektoren  $v_i \in S$ .*

*Beweis.* Es sei  $v \in \sigma$  gegeben. Nach Definition der positiven Hülle ist  $v$  als Positivkombination über  $S$  darstellbar. Wir wählen eine unverkürzbare Darstellung

$$v = \lambda_1 v_1 + \dots + \lambda_k v_k, \quad \lambda_1, \dots, \lambda_k \in \mathbb{K}_{\geq 0}, \quad v_1, \dots, v_k \in S,$$

d.h.,  $v$  ist nicht als Positivkombination über einer echten Auswahl der  $v_1, \dots, v_k$ . Wir zeigen, dass  $(v_1, \dots, v_k)$  linear unabhängig ist. Andernfalls hätte man

$$0 = \mu_1 v_1 + \dots + \mu_k v_k, \quad (\mu_1, \dots, \mu_k) \in \mathbb{K}^k \setminus \{0\}.$$

Mit  $\lambda := \min(\lambda_i/\mu_i; i = 1, \dots, k, \mu_i \neq 0)$  erhalten wir dann eine Darstellung von  $v$  als Positivkombination

$$v = v - \lambda \cdot 0 = (\lambda_1 - \lambda \mu_1) v_1 + \dots + (\lambda_k - \lambda \mu_k) v_k.$$

Dabei gilt  $\lambda = \lambda_i/\mu_i$  und somit  $\lambda_i - \lambda \mu_i = 0$  für mindestens ein  $i$ ; Widerspruch zur Unverkürzbarkeit von  $(v_1, \dots, v_k)$ . □

**Definition 2.7.10.** Es seien  $V$  ein  $\mathbb{K}$ -Vektorraum und  $\sigma \subseteq V$  ein spitzer polyedrischer konvexer Kegel mit den Extremalstrahlen  $\rho_i = \text{Pos}(v_i)$ , wobei  $i = 1, \dots, r$ . Ein *Teilkegel* von  $\sigma$  ist ein Kegel  $\tau \subseteq \sigma$  der Form  $\tau = \text{Pos}(v_{i_1}, \dots, v_{i_k})$  mit  $k \leq r$  und  $1 \leq i_1, \dots, i_k \leq r$ .

**Folgerung 2.7.11.** *Es sei  $V$  ein  $\mathbb{K}$ -Vektorraum. Dann ist jeder spitze polyedrische konvexe Kegel  $\sigma \subseteq V$  die Vereinigung seiner simplizialen Teilkegel.*

*Beweis.* Es seien  $\rho_i = \text{Pos}(v_i)$ ,  $i = 1, \dots, r$ , die Extremalstrahlen von  $\sigma$ . Nach Folgerung 2.5.9 wird  $\sigma$  durch  $v_1, \dots, v_r$  erzeugt. Satz 2.7.9 liefert die Behauptung. □



3. KONVEXE POLYEDER UND POLYTOPE

3.1. Polytope und Polyeder 1.

**Definition 3.1.1.** Es sei  $V$  ein  $\mathbb{K}$ -Vektorraum. Eine Teilmenge  $B \subseteq V$  heißt *Polytop*, falls es Vektoren  $v_1, \dots, v_r \in V$  gibt mit  $B = \text{Konv}(v_1, \dots, v_r)$ .

**Bemerkung 3.1.2.** Es seien  $V$  ein  $\mathbb{K}$ -Vektorraum und  $B \subseteq V$  ein Polytop.

- (i) Nach Definition ist  $B$  nicht leer und gemäß Satz 1.4.8 (ii) konvex.
- (ii) Die *Dimension* von  $B$  ist die Dimension der affinen Hülle  $\text{Aff}(B) \subseteq V$ .

**Bemerkung 3.1.3.** Es sei  $V$  ein  $\mathbb{K}$ -Vektorraum. Die nulldimensionalen Polytope in  $V$  sind genau die einpunktigen Teilmengen  $\{v\} \subseteq V$ . Die eindimensionalen Polytope in  $V$  sind genau die Strecken

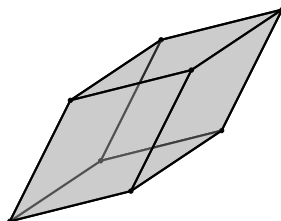
$$\text{Konv}(v, v') = \{v + t(v' - v); t \in \mathbb{K}, 0 \leq t \leq 1\} \subseteq V, \quad v, v' \in V, v' \neq v.$$

**Aufgabe 3.1.4.** Veranschauliche den Begriff des Polytops mittels weiterer geeigneter Beispiele in  $\mathbb{R}^n$  für  $n \leq 3$ .



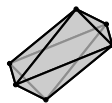
**Beispiel 3.1.5.** Es seien  $V$  ein  $\mathbb{K}$ -Vektorraum und  $\mathcal{B} = (b_1, \dots, b_n)$  eine Basis für  $V$ . Das zu  $\mathcal{B}$  gehörige *Parallelotop* in  $V$  ist

$$P_{\mathcal{B}} := \text{Konv}(\varepsilon_1 b_1 + \dots + \varepsilon_n b_n; \varepsilon_1, \dots, \varepsilon_n = \pm 1) \subseteq V.$$



**Beispiel 3.1.6.** Es seien  $V$  ein  $\mathbb{K}$ -Vektorraum und  $\mathcal{B} = (b_1, \dots, b_n)$  eine Basis für  $V$ . Das zu  $\mathcal{B}$  gehörige *Kreuzpolytop* in  $V$  ist

$$K_{\mathcal{B}} = \text{Konv}(b_1, -b_1, \dots, b_n, -b_n) \subseteq V.$$



**Satz 3.1.7.** Es sei  $V$  ein  $\mathbb{K}$ -Vektorraum, und es seien Polytope  $B = \text{Konv}(v_1, \dots, v_n)$  sowie  $B' = \text{Konv}(v'_1, \dots, v'_m)$  in  $V$  gegeben. Dann gilt

$$B + B' = \text{Konv}(v_i + v'_j; i = 1, \dots, n, j = 1, \dots, m).$$

*Beweis.* Für den Nachweis von " $\subseteq$ " seien  $v = \sum \lambda_i v_i \in B$  und  $v' = \sum \lambda'_j v'_j \in B'$  als Konvexkombinationen gegeben. Dann erhalten wir eine Darstellung von  $v + v'$  als Konvexkombination über den  $v_i + v'_j$  durch

$$v + v' = \sum_{i=1}^n \lambda_i \left( \sum_{j=1}^m \lambda'_j \right) v_i + \sum_{j=1}^m \lambda'_j \left( \sum_{i=1}^n \lambda_i \right) v'_j = \sum_{i,j} \lambda_i \lambda'_j (v_i + v'_j).$$

Wir zeigen " $\supseteq$ ". Nach Satz 1.4.8 (iii) ist  $B + B'$  konvex. Weiter haben wir offensichtlich  $v_i + v'_j \in B + B'$  für alle  $i, j$ . Gemäß Satz 1.4.8 (ii) ist damit die konvexe Hülle über alle  $v_i + v'_j$  in  $B + B'$  enthalten.  $\square$

**Folgerung 3.1.8.** *Es seien  $V$  ein  $\mathbb{K}$ -Vektorraum und  $B_1, \dots, B_r \subseteq V$  Polytope. Dann ist auch die Summe  $B_1 + \dots + B_r$  ein Polytop.*

**Bemerkung 3.1.9.** Es seien  $V$  ein  $\mathbb{K}$ -Vektorraum und  $B \subseteq V$  ein Polytop. In  $V' := V \times \mathbb{K}$  betrachten wir die Polytope

$$B' := \{(v, 0); v \in B\}, \quad E := \{(0, 1)\}, \quad I := \text{Konv}(0, e).$$

Durch Summenbildung in erhalten wir dann die *Pyramide*  $B' + E \subseteq V'$  und das *Prisma*  $B' + I \subseteq V'$  über dem Polytop  $B \subseteq V$ :



**Definition 3.1.10.** Es seien  $V$  ein  $\mathbb{K}$ -Vektorraum und  $\mathcal{A} \subseteq V$  eine Teilmenge.

- (i) Wir nennen eine Linearform  $u \in V^*$  *beschränkt* auf  $\mathcal{A}$ , falls es ein  $b \in \mathbb{K}$  gibt mit  $-b \leq u(a) \leq b$  für alle  $a \in \mathcal{A}$ .
- (ii) Wir nennen  $\mathcal{A} \subseteq V$  *beschränkt*, wenn jede Linearform  $u \in V^*$  auf  $\mathcal{A}$  beschränkt ist.

**Satz 3.1.11.** *Es seien  $V$  ein  $\mathbb{K}$ -Vektorraum,  $B = \text{Konv}(v_1, \dots, v_r)$  ein Polytop in  $V$  und  $u \in V^*$  eine Linearform auf  $V$ . Dann gibt es  $1 \leq i \leq j \leq r$ , sodass*

$$u(v_i) \leq u(v) \leq u(v_j)$$

für alle  $v \in B$  gilt. Insbesondere ist das Polytop  $B \subseteq V$  eine beschränkte Teilmenge des  $\mathbb{K}$ -Vektorraumes  $V$ .

*Beweis.* Es seien  $1 \leq i \leq j \leq n$  mit  $u(i) \leq u(k) \leq u(j)$  für  $k = 1, \dots, r$ . Jedes  $v \in B$  ist eine Konvexkombination  $v = \lambda_1 v_1 + \dots + \lambda_r v_r$ . Weiter gilt

$$\lambda_1 u(v_i) + \dots + \lambda_r u(v_i) \leq \lambda_1 u(v_1) + \dots + \lambda_r u(v_r) \leq \lambda_1 u(v_j) + \dots + \lambda_r u(v_j).$$

nach Wahl von  $i$  und  $j$ . Mit  $u(v) = \lambda_1 u(v_1) + \dots + \lambda_r u(v_r)$  und  $\lambda_1 + \dots + \lambda_r = 1$  erhalten wir dann die gewünschte Abschätzung  $u(v_i) \leq u(v) \leq u(v_j)$ .  $\square$

**Definition 3.1.12.** Es sei  $V$  ein  $\mathbb{K}$ -Vektorraum. Ein *affiner Strahl* in  $V$  ist eine Menge der Form  $\varrho_v(v') := v' + \text{Pos}(v)$  mit  $v, v' \in V$ , wobei  $v \neq 0$ .

**Konstruktion 3.1.13.** Es sei  $V$  ein  $\mathbb{K}$ -Vektorraum. Der *Rezessionskegel* einer nichtleeren konvexen Menge  $\mathcal{A} \subseteq V$  ist der konvexe Kegel

$$\varrho(\mathcal{A}) := \{v \in V; \varrho_v(v') \subseteq \mathcal{A} \text{ für alle } v' \in \mathcal{A}\} \subseteq V.$$

**Bemerkung 3.1.14.** Es seien  $V$  ein  $\mathbb{K}$ -Vektorraum und  $\mathcal{A} \subseteq V$  eine konvexe Menge mit Rezessionskegel  $\varrho(\mathcal{A})$ . Für jedes  $v' \in \mathcal{A}$  gilt  $v' + \varrho(\mathcal{A}) \subseteq \mathcal{A}$ .

**Satz 3.1.15.** *Es seien  $V$  ein  $\mathbb{K}$ -Vektorraum,  $\emptyset \neq \mathcal{A} \subseteq V$  eine beschränkte konvexe Menge und  $\sigma \subseteq V$  ein polyedrischer konvexer Kegel. Dann gilt  $\varrho(\mathcal{A} + \sigma) = \sigma$ .*

*Beweis.* Für den Nachweis von “ $\sigma \subseteq \varrho(\mathcal{A} + \sigma)$ ” sei  $v \in \sigma$  gegeben. Wir müssen  $v' + \alpha v \subseteq \mathcal{A} + \sigma$  für jedes  $v' \in \mathcal{A} + \sigma$  und alle  $\alpha \in \mathbb{K}_{\geq 0}$  zeigen. Dazu schreiben wir  $v' = v'_A + v'_\sigma$  mit  $v'_A \in \mathcal{A}$  und  $v'_\sigma \in \sigma$ . Dann erhalten wir

$$v' + \alpha v = v'_A + v'_\sigma + \alpha v \in \mathcal{A} + \sigma.$$

Zu “ $\varrho(\mathcal{A} + \sigma) \subseteq \sigma$ ”. Nehmen wir an, es existiere ein  $v \in \varrho(\mathcal{A} + \sigma) \setminus \sigma$ . Dann liefert Satz 2.1.15 eine Linearform  $u \in \sigma^\vee$  mit  $u(v) < 0$ . Wir wählen  $v' \in \varrho(\mathcal{A})$ . Wegen

$v \in \varrho(\mathcal{A} + \sigma)$  gilt  $v' + \alpha v \in \mathcal{A} + \sigma$  für alle  $\alpha \in \mathbb{K}_{\geq 0}$ . Insbesondere haben wir für jedes  $\alpha \in \mathbb{K}_{\geq 0}$  eine Darstellung

$$v' + \alpha v = v'_\alpha + v_\alpha, \quad v'_\alpha \in \mathcal{A}, \quad v_\alpha \in \sigma.$$

Da  $\mathcal{A}$  beschränkt ist, gibt es ein  $b \in \mathbb{K}_{\geq 0}$  mit  $-b \leq u(v'') \leq b$  für alle  $v'' \in \mathcal{A}$ . Wenden wir nun  $u \in \sigma^\vee$  auf die obigen Darstellungen an, so ergibt sich damit

$$b + \alpha u(v) \geq u(v' + \alpha v) = u(v'_\alpha + v_\alpha) \geq -b$$

für alle  $\alpha \in \mathbb{K}_{\geq 0}$ . Folglich muss  $u(v) \geq 0$  gelten. Das steht im Widerspruch zur Wahl der Linearform  $u$ .  $\square$

**Folgerung 3.1.16.** *Jede beschränkte nichtleere konvexe Menge, insbesondere jedes Polytop, besitzt trivialen Rezessionskegel.*

*Beweis.* Ist  $\mathcal{A} \subseteq V$  nichtleer, beschränkt und konvex, so liefert Satz 3.1.15 für  $\sigma := \{0\} \subseteq V$  das gewünschte Ergebnis.  $\square$



### 3.2. Polytope und Polyeder 2.

**Erinnerung 3.2.1.** Es seien  $V$  ein  $\mathbb{K}$ -Vektorraum und  $U$  sein Dualraum. Eine *Affinform* auf  $V$  ist eine Abbildung der Gestalt

$$f: V \rightarrow \mathbb{K}, \quad v \mapsto u(v) + b, \quad u \in U, \quad b \in \mathbb{K}.$$

Ein *konvexes Polyeder* in  $V$  ist eine Teilmenge  $B = \text{POrt}(f_1, \dots, f_s) \subseteq V$ , wobei  $f_1, \dots, f_s$  Affinformen auf  $V$  sind.

**Bemerkung 3.2.2.** Es seien  $V$  ein  $\mathbb{K}$ -Vektorraum,  $\mathcal{B} = (b_1, \dots, b_n)$  eine Basis für  $V$  und  $\mathcal{B}^* = (b_1^*, \dots, b_n^*)$  die zugehörige duale Basis. Dann haben wir

$$\begin{aligned} P_{\mathcal{B}} &= \text{Konv}(\varepsilon_1 b_1 + \dots + \varepsilon_n b_n; \varepsilon_1, \dots, \varepsilon_n = \pm 1) \\ &= \text{POrt}(b_1^* + 1, -b_1^* + 1, \dots, b_n^* + 1, -b_n^* + 1), \\ K_{\mathcal{B}} &= \text{Konv}(b_1, -b_1, \dots, b_n, -b_n) \\ &= \text{POrt}(\varepsilon_1 b_1^* + \dots + \varepsilon_n b_n^* + 1; \varepsilon_1, \dots, \varepsilon_n = \pm 1) \end{aligned}$$

für das Parallelotop  $P_{\mathcal{B}}$  und das Kreuzpolytop  $K_{\mathcal{B}}$  zu  $\mathcal{B}$ . Insbesondere sind  $P_{\mathcal{B}}$  und  $K_{\mathcal{B}}$  konvexe Polyeder.

**Satz 3.2.3.** *Es seien  $V$  ein  $\mathbb{K}$ -Vektorraum mit Basis  $\mathcal{B} = (b_1, \dots, b_n)$  und  $\mathcal{A} \subseteq V$ . Dann sind folgende Aussagen äquivalent:*

- (i) *Die Teilmenge  $\mathcal{A} \subseteq V$  ist beschränkt.*
- (ii) *Es gibt ein  $\lambda \in \mathbb{K}_{\geq 1}$  mit  $\mathcal{A} \subseteq P_{\lambda \mathcal{B}}$ , wobei  $\lambda \mathcal{B} = (\lambda b_1, \dots, \lambda b_n)$ .*

*Beweis.* Gilt (i), so sind insbesondere die Linearformen  $b_i^* \in V^*$  auf  $\mathcal{A}$  beschränkt, etwa durch  $-\lambda \leq b_i^*(v) \leq \lambda$  mit  $\lambda \in \mathbb{K}_{\geq 1}$ . Mit Bemerkung 3.2.2 folgt  $\mathcal{A} \subseteq P_{\lambda \mathcal{B}}$ . Gilt (ii), so ist  $\mathcal{A}$  beschränkt, da bereits  $\lambda \mathcal{B}$  beschränkt ist; siehe Satz 3.1.11.  $\square$

**Satz 3.2.4.** *Es seien  $V$  ein  $\mathbb{K}$ -Vektorraum und  $B = \text{POrt}(f_1, \dots, f_s) \subseteq V$  ein nichtleeres konvexes Polyeder mit Affinformen  $f_i = u_i + b_i$ . Dann gilt*

$$\begin{aligned} \varrho(B) &= \{v \in V; \varrho_v(v') \subseteq B \text{ für ein } v' \in B\} \\ &= \text{POrt}(u_1, \dots, u_s). \end{aligned}$$

*Insbesondere hat man  $u|_{\varrho(B)} \geq 0$  für jede Affinform  $f = u + b$  auf  $V$  mit  $f|_B \geq 0$ . Weiter ist  $\varrho(B)$  ein polyedrischer konvexer Kegel.*

*Beweis.* Die Inklusion “ $\subseteq$ ” der ersten Gleichung ist gemäß Definition des Rezessionskegels  $\varrho(B)$  offensichtlich.

Für den Nachweis von “ $\supseteq$ ” in der zweiten Gleichung, sei  $0 \neq v \in V$  mit sodass  $\varrho_v(v') \subseteq B$  für ein  $v' \in B$  gilt. Für  $i = 1, \dots, s$  und alle  $\lambda \in \mathbb{K}_{\geq 0}$  haben wir dann

$$0 \leq f_i(v' + \alpha v) = u_i(v') + b_i + \lambda u_i(v).$$

Mit  $c := u_i(v') + b_i \geq 0$  erhalten wir  $u_i(v) \geq -c/\lambda$  für alle  $\lambda \in \mathbb{K}_{\geq 0}$ . Das impliziert  $u_i(v) \geq 0$  und somit  $v \in \text{POrt}(u_1, \dots, u_s)$ .

Wir zeigen, dass  $\text{POrt}(u_1, \dots, u_s)$  im Rezessionskegel  $\varrho(B)$  enthalten ist. Dazu sei  $v \in \text{POrt}(u_1, \dots, u_s)$  gegeben. Dann haben wir

$$f_i(v' + \lambda v) = u_i(v') + b_i + \lambda u_i(v) = f_i(v') + \lambda u_i(v) \geq 0$$

für  $i = 1, \dots, s$ , jedes  $v' \in B$  und alle  $\lambda \in \mathbb{K}_{\geq 0}$ . Das beweist  $\varrho_v(v') \subseteq B$  für alle  $v' \in B$  und somit  $v \in \varrho(B)$ .  $\square$

**Folgerung 3.2.5.** *Es seien  $V$  ein  $\mathbb{K}$ -Vektorraum,  $B \subseteq V$  ein nichtleeres konvexes Polyeder. Dann sind folgende Aussagen äquivalent:*

- (i) *Es gilt  $\varrho(B) = \{0\}$ .*
- (ii)  *$B$  enthält keinen affinen Strahl.*

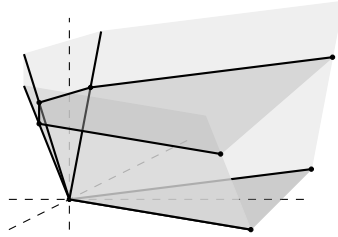
**Folgerung 3.2.6.** *Es seien  $V$  ein  $\mathbb{K}$ -Vektorraum und  $B, B' \subseteq V$  nichtleere konvexe Polyeder. Gilt  $B \subseteq B'$ , so gilt  $\varrho(B) \subseteq \varrho(B')$ .*

*Beweis.* Nehmen wir an, es existiere ein  $v \in \varrho(B) \setminus \varrho(B')$ . Dann gilt  $\varrho_v(v') \subseteq B$  für alle  $v' \in B$  und  $\varrho_v(v'') \not\subseteq B'$  für ein  $v'' \in B'$ . Wegen  $\varrho_v(v') \subseteq B \subseteq B'$  widerspricht das Satz 3.2.4.  $\square$

**Konstruktion 3.2.7.** Es sei  $V$  ein  $\mathbb{K}$ -Vektorraum und  $\mathcal{A} \subseteq V$  eine konvexe Menge mit Rezessionskegel  $\varrho(\mathcal{A}) \subseteq V$ . Der *Homogenisierungskegel* von  $\mathcal{A}$  ist

$$\sigma(\mathcal{A}) := \text{Pos}((\mathcal{A} \times \{1\}) \cup (\varrho(\mathcal{A}) \times \{0\})) \subseteq V \times \mathbb{K}.$$

**Aufgabe 3.2.8.** Veranschauliche den Homogenisierungskegel einer konvexen Menge  $\mathcal{A} \subseteq \mathbb{R}^n$  anhand geeigneter Beispiele für  $n \leq 2$ .



**Bemerkung 3.2.9.** Es seien  $V$  ein  $\mathbb{K}$ -Vektorraum,  $\mathcal{A} \subseteq V$  konvex und  $\lambda \in \mathbb{K}_{\geq 0}$ . Die *Dilatation*  $\lambda\mathcal{A} := \{\lambda v; v \in \mathcal{A}\}$  ist eine konvexe Menge in  $V$ , sie besitzt den Rezessionskegel  $\varrho(\lambda\mathcal{A}) = \varrho(\mathcal{A})$ .

**Satz 3.2.10.** *Es seien  $V$  ein  $\mathbb{K}$ -Vektorraum und  $\mathcal{A} \subseteq V$  eine konvexe Menge mit Rezessionskegel  $\varrho(\mathcal{A}) \subseteq V$ . Für den Homogenisierungskegel von  $\mathcal{A}$  gilt dann*

$$\sigma(\mathcal{A}) = \varrho(\mathcal{A}) \times \{0\} \sqcup \bigsqcup_{\lambda \in \mathbb{K}_{>0}} \lambda\mathcal{A} \times \{\lambda\}.$$

Für die affinen Abbildungen  $\iota_0: V \rightarrow V \times \mathbb{K}$ ,  $v \mapsto (v, 0)$  und  $\iota_1: V \rightarrow V \times \mathbb{K}$ ,  $v \mapsto (v, 1)$  erhalten wir damit insbesondere

$$\iota_0^{-1}(\sigma(\mathcal{A})) = \varrho(\mathcal{A}), \quad \iota_1^{-1}(\sigma(\mathcal{A})) = \mathcal{A}.$$

*Beweis.* Für den Nachweis von “ $\subseteq$ ” in der ersten Gleichung sei  $(v, \lambda) \in \sigma(\mathcal{A})$  gegeben. Gemäß Definition des Homogenisierungskegels haben wir dann

$$(v, \lambda) = \sum_{i=1}^n \lambda_i (v'_i, 1) + \sum_{j=1}^m \mu_j (v_j, 0)$$

mit Vektoren  $v'_i \in \mathcal{A}$  sowie  $v_j \in \varrho(\mathcal{A})$  und Koeffizienten  $\lambda_i, \mu_j \in \mathbb{K}_{\geq 0}$ , wobei  $\lambda_1 + \dots + \lambda_n = \lambda$  gilt. Gilt  $\lambda > 0$ , so erhalten wir

$$v' := \sum_{i=1}^n \lambda_i v'_i = \sum_{i=1}^n \frac{\lambda_i}{\lambda} \lambda v'_i \in \lambda\mathcal{A}, \quad v_0 := \sum_{j=1}^m \mu_j v_j \in \varrho(\mathcal{A}) = \varrho(\lambda\mathcal{A})$$

nach Bemerkung 3.2.9. Es folgt  $v = v' + v_0 \in \lambda\mathcal{A}$  und somit  $(v, \lambda) \in \lambda\mathcal{A} \times \{\lambda\}$ . Für  $\lambda \leq 0$  gilt offensichtlich  $v \in \varrho(\mathcal{A})$  und somit  $(v, \lambda) \in \varrho(\mathcal{A}) \times \{0\}$ .

Die Inklusion “ $\supseteq$ ” in der ersten Gleichung ist offensichtlich. Die Aussagen zu  $\iota_0$  und  $\iota_1$  folgen direkt.  $\square$

**Folgerung 3.2.11.** *Es sei  $V$  ein  $\mathbb{K}$ -Vektorraum. Rezessions- bzw. Homogenisierungskegel eines Durchschnittes nichtleerer konvexe Mengen  $\mathcal{A}_i \subseteq V$  sind gegeben durch*

$$\varrho\left(\bigcap_i \mathcal{A}_i\right) = \bigcap_i \varrho(\mathcal{A}_i), \quad \sigma\left(\bigcap_i \mathcal{A}_i\right) = \bigcap_i \sigma(\mathcal{A}_i).$$

**Konstruktion 3.2.12.** Es sei  $V$  ein  $\mathbb{K}$ -Vektorraum. Dann hat man zueinander inverse Bijektionen

$$\begin{aligned} \text{AF}(V) &\longleftrightarrow \text{LF}(V \times \mathbb{K}) \\ f &\mapsto \tilde{u}_f: (v, x) \mapsto f(v) + (x-1)f(0), \\ f_{\tilde{u}}: v \mapsto \tilde{u}(v, 1) &\longleftarrow \tilde{u}. \end{aligned}$$

**Satz 3.2.13.** *Es seien  $V$  ein  $\mathbb{K}$ -Vektorraum und  $B := \text{Konv}(v_1, \dots, v_r) \subseteq V$  ein Polytop. Dann haben wir*

$$\sigma(B) = \text{Pos}((v_1, 1), \dots, (v_r, 1)) \subseteq V \times \mathbb{K}.$$

*Sind weiter  $\tilde{u}_1, \dots, \tilde{u}_s \in \text{LF}(V \times \mathbb{K})$  mit  $\sigma = \text{POrt}(\tilde{u}_1, \dots, \tilde{u}_s)$  gegeben, so hat man eine Darstellung*

$$B = \text{POrt}(f_{\tilde{u}_1}, \dots, f_{\tilde{u}_s}) \subseteq V.$$

*Beweis.* Nach Satz 3.1.11 ist  $B$  beschränkt und nach Satz 3.2.4 hat  $B$  trivialen Rezessionskegel. Die erste Gleichung des Satzes ergibt sich somit direkt aus Konstruktion 3.2.7. Die zweite Gleichung erhalten wir mit Satz 3.2.10 und  $f_{\tilde{u}_j} = \tilde{u}_j \circ v_1$ .  $\square$



### 3.3. Polytope und Polyeder 3.

**Satz 3.3.1.** *Es seien  $V$  ein  $\mathbb{K}$ -Vektorraum,  $\emptyset \neq B = \text{POrt}(f_1, \dots, f_s)$  ein konvexes Polyeder mit Rezessionskegel  $\varrho(B)$  und  $\tilde{u}_\infty: V \times \mathbb{K} \rightarrow \mathbb{K}$ ,  $(v, z) \mapsto z$ . Dann gilt*

$$\sigma(B) = \text{POrt}(\tilde{u}_{f_1}, \dots, \tilde{u}_{f_s}, \tilde{u}_\infty) \subseteq V \times \mathbb{K}.$$

Weiter gibt es Vektoren  $\tilde{v}_1, \dots, \tilde{v}_r \in V \times \mathbb{K}$  der Form  $\tilde{v}_i = (v_i, 1)$  mit  $v_i \in V$ , sodass wir  $\sigma(B)$  und  $B$  darstellen können als

$$\sigma(B) = \text{Pos}(\tilde{v}_1, \dots, \tilde{v}_r) + (\varrho(B) \times \{0\}), \quad B = \text{Konv}(v_1, \dots, v_r) + \varrho(B).$$

Dabei ist der eingebettete Rezessionskegel  $u_0(\varrho(B)) = \varrho(B) \times \{0\} = \sigma(B) \cap \tilde{u}_\infty^\perp$  eine Seite des Homogenisierungskegels  $\sigma(B)$ .

*Beweis.* Wir verifizieren zunächst die erste Gleichung des Satzes auf  $V \times \{1\}$ . Nach Satz 3.2.10 und Konstruktion 3.2.12 haben wir

$$\begin{aligned} \sigma(B) \cap (V \times \{1\}) &= B \times \{1\} \\ &= \text{POrt}(f_1, \dots, f_s) \times \{1\} \\ &= \text{POrt}(\tilde{u}_{f_1}, \dots, \tilde{u}_{f_s}, \tilde{u}_\infty) \cap (V \times \{1\}). \end{aligned}$$

Damit können wir die erste Gleichung des Satzes auch auf allen  $V \times \{\lambda\}$  mit  $\lambda \in \mathbb{K}_{>0}$  nachweisen: Es gilt

$$\begin{aligned} \sigma(B) \cap (V \times \{\lambda\}) &= \lambda(\sigma(B) \cap (V \times \{1\})) \\ &= \lambda(\text{POrt}(\tilde{u}_{f_1}, \dots, \tilde{u}_{f_s}, \tilde{u}_\infty) \cap (V \times \{1\})) \\ &= \text{POrt}(\tilde{u}_{f_1}, \dots, \tilde{u}_{f_s}, \tilde{u}_\infty) \cap (V \times \{\lambda\}). \end{aligned}$$

Sätze 3.2.10 und 3.2.4 liefern die gewünschte Gleichung auf  $V \times \{0\}$ . Das beweist die erste Aussage des Satzes.

Wir schreiben nun den polyedrischen konvexen Kegel  $\sigma(B)$  in  $V \times \mathbb{K}$  als positive Hülle über Vektoren  $\tilde{v}_1, \dots, \tilde{v}_r \in V \times \mathbb{K}_{>0}$  und  $\tilde{v}_{r+1}, \dots, \tilde{v}_{r+k} \in V \times \{0\}$ . Dabei gilt

$$\sigma(B) \cap (V \times \{1\}) = \varrho(B) \times \{0\} = \text{Pos}(\tilde{v}_{r+1}, \dots, \tilde{v}_{r+k});$$

siehe Satz 3.2.10. Durch geeignetes Skalieren erreichen wir zudem  $\tilde{v}_i \in V \times \{1\}$  für  $i = 1, \dots, r$ . Die zweite sowie die dritte Gleichung des Satzes lassen sich dann direkt verifizieren.  $\square$

**Folgerung 3.3.2.** *Jedes konvexe Polyeder ist die Summe eines Polytops und eines polyedrischen konvexen Kegels.*

**Folgerung 3.3.3.** *Es seien  $V$  ein  $\mathbb{K}$ -Vektorraum und  $\mathcal{B} \subseteq V$  eine Teilmenge. Dann sind folgende Aussagen äquivalent:*

- (i)  $\mathcal{B}$  ist ein beschränktes konvexes Polyeder.
- (ii)  $\mathcal{B}$  ist ein konvexes Polyeder mit  $\varrho(\mathcal{B}) = \{0\}$ .
- (iii)  $\mathcal{B}$  ist ein Polytop.

*Beweis.* Die Implikation “(i) $\Rightarrow$ (ii)” ergibt sich aus Folgerung 3.1.16. Wir zeigen “(ii) $\Rightarrow$ (iii)”. Nach Folgerung 3.3.2 gilt  $\mathcal{B} = B + \sigma$  mit einem Polytop  $B \subseteq V$  und einem polyedrischen konvexen Kegel  $\sigma \subseteq V$ . Satz 3.1.15 liefert  $\sigma = \varrho(\mathcal{B})$  und somit  $\mathcal{B} = B$ . Zu “(iii) $\Rightarrow$ (i)”. Als Polytop ist  $B$  nach Satz 3.1.11 beschränkt und nach Satz 3.2.13 ein Polyeder.  $\square$

**Satz 3.3.4.** *Es seien  $V$  ein  $\mathbb{K}$ -Vektorraum und  $\mathcal{B}_1, \mathcal{B}_2 \subseteq V$  konvexe Polyeder. Dann sind Rezeptionskegel und Homogenisierungskegel der Summe gegeben durch*

$$\varrho(\mathcal{B}_1 + \mathcal{B}_2) = \varrho(\mathcal{B}_1) + \varrho(\mathcal{B}_2), \quad \sigma(\mathcal{B}_1 + \mathcal{B}_2) = \sigma(\mathcal{B}_1) + \sigma(\mathcal{B}_2).$$

*Weiter ist die Summe  $\mathcal{B}_1 + \mathcal{B}_2 \subseteq V$  der beiden konvexen Polyeder  $\mathcal{B}_1, \mathcal{B}_2 \subseteq V$  ein konvexes Polyeder.*

*Beweis.* Gemäß Folgerung 3.3.2 haben wir Darstellungen  $\mathcal{B}_i = B_i + \sigma_i$  mit Polytopen  $B_i \subseteq V$  und polyedrischen konvexen Kegeln  $\sigma_i \subseteq V$ . Damit erhalten wir

$$\mathcal{B}_1 + \mathcal{B}_2 = B_1 + B_2 + \sigma_1 + \sigma_2.$$

Nach Folgerung 3.1.8 ist  $B_1 + B_2$  ein Polytop und somit beschränkt; siehe Satz 3.1.11. Nach Folgerung 2.2.6 ist  $\sigma_1 + \sigma_2$  ein polyedrischer konvexer Kegel. Satz 3.1.15 liefert

$$\varrho(\mathcal{B}_1 + \mathcal{B}_2) = \sigma_1 + \sigma_2 = \varrho(\mathcal{B}_1) + \varrho(\mathcal{B}_2).$$

Die Formel für die Homogenisierungskegel sowie den Zusatz erhält man dann mit Satz 3.2.10, wobei für ersteres  $\lambda(\mathcal{B}_1 + \mathcal{B}_2) = \lambda(\mathcal{B}_1) + \lambda(\mathcal{B}_2)$  verwendet wird.  $\square$

**Folgerung 3.3.5.** *Es seien  $V$  ein  $\mathbb{K}$ -Vektorraum und  $\mathcal{B}_1, \dots, \mathcal{B}_r \subseteq V$  konvexer Polyeder. Dann ist auch die Summe  $\mathcal{B}_1 + \dots + \mathcal{B}_r \subseteq V$  ein konvexes Polyeder.*

**Definition 3.3.6.** Es seien  $V$  ein  $\mathbb{K}$ -Vektorraum und  $B \subseteq V$  ein konvexes Polyeder. Eine Teilmenge  $C \subseteq B$  heißt *Seite* von  $B$ , falls es ein  $f \in \text{AF}(V)$  gibt mit

$$f|_B \geq 0, \quad C = B \cap N(f).$$

Wir schreiben  $C \preceq B$ , falls  $C$  eine Seite von  $B$  ist. Die Menge aller Seiten von  $B$  wird mit  $\text{Seiten}(B)$  bezeichnet.

**Satz 3.3.7.** *Es seien  $V$  ein  $\mathbb{K}$ -Vektorraum und  $\emptyset \neq B \subseteq V$  ein konvexes Polyeder. Dann hat man zueinander inverse inklusionserhaltende Bijektionen*

$$\begin{aligned} \text{Seiten}(B) \setminus \{0\} &\longleftrightarrow \text{Seiten}(\sigma(B)) \setminus \text{Seiten}(\varrho(B)), \\ C &\mapsto \sigma(C), \\ \iota_1^{-1}(\tau) &\longleftarrow \tau, \end{aligned}$$

*mit den Homogenisierungskegeln  $\sigma(B), \sigma(C)$ , dem Rezeptionskegel  $\varrho(B)$  und der affinen Abbildung  $\iota_1: V \rightarrow V \times \mathbb{K}, v \mapsto (v, 1)$ .*

*Beweis.* Wir zeigen  $\sigma(C) \preceq \sigma(B)$ . Dazu sei eine Darstellung  $B = \text{POrt}(f_1, \dots, f_s)$  mit  $f_j \in \text{AF}(V)$  gegeben. Gemäß Satz 3.3.1 haben wir dann

$$\sigma(B) = \text{POrt}(\tilde{u}_{f_1}, \dots, \tilde{u}_{f_s}, \tilde{u}_\infty) \subseteq V \times \mathbb{K}.$$

Wir wählen weiter ein  $f \in \text{AF}(V)$  mit  $f|_B \geq 0$  und  $C = B \cap N(f)$ . Dann gilt  $C = \text{POrt}(f_1, \dots, f_s, \pm f)$  und Satz 3.3.1 liefert

$$\sigma(C) = \text{POrt}(\tilde{u}_{f_1}, \dots, \tilde{u}_{f_s}, \pm \tilde{u}_f, \tilde{u}_\infty) \subseteq V \times \mathbb{K}.$$

Das bedeutet  $\sigma(C) = \sigma(B) \cap \tilde{u}_f^\perp$  und somit  $\sigma(C) \preceq \sigma(B)$ . Insbesondere ist die Abbildung  $C \mapsto \sigma(C)$  wohldefiniert.

Wir zeigen  $\iota_1^{-1}(\tau) \preceq B$ . Dazu sei  $\tilde{u} \in \text{LF}(V \times \mathbb{K})$  mit  $\tilde{u}|_{\sigma(B)} \geq 0$  und  $\tau = \sigma(B) \cap \tilde{u}^\perp$  gegeben. Mit  $f_{\tilde{u}} = \tilde{u} \circ \iota$  haben wir dann  $f_{\tilde{u}}|_B \geq 0$  und

$$\iota_1^{-1}(\tau) = \iota_1^{-1}(\sigma(B) \cap \tilde{u}^\perp) = B \cap N(f_{\tilde{u}}) \preceq B.$$

Damit ist auch die Abbildung  $\tau \mapsto \iota_1^{-1}(\tau)$  wohldefiniert. Die weiteren Aussagen ergeben sich dann direkt aus Satz 3.3.1.  $\square$

**Folgerung 3.3.8.** *Es seien  $V$  ein  $\mathbb{K}$ -Vektorraum und  $B \subseteq V$  eine konvexes Polyeder. Dann hat man folgende Aussagen:*

- (i) *Für alle  $C \preceq B$  und  $D \preceq C$  gilt  $D \preceq B$ .*
- (ii) *Für je zwei  $C_1, C_2 \preceq B$  gilt  $C_1 \cap C_2 \preceq C_1, C_2, B$ .*

*Insbesondere ist " $\preceq$ " eine Partialordnung auf  $\text{Seiten}(B)$  mit  $B$  bzw.  $\emptyset$  als einzigem maximalen bzw. minimalem Element.*



## LITERATUR

- [1] Jürgen Hausen, *Lineare Algebra 1*, Shaker Verlag, Aachen, 2017. 3. korrigierte Auflage.
- [2] ———, *Lineare Algebra 2*, Shaker Verlag, Aachen, 2013.